

Ядерные реакции в звездной плазме

Лекция 1

Термоядерные реакции в звёздной плазме

А.И. Чугунов (ФТИ им. А.Ф. Иоффе)

Ядерные реакции и звёзды

Википедия: *Звезда́* — излучающий свет массивный газовый шар, удерживаемый силами собственной гравитации, в недрах которого происходят (или происходили ранее) реакции термоядерного синтеза

Энергия подавляющего большинства звёзд выделяется в результате термоядерных реакций превращения водорода в гелий, происходящих при высоких температурах во внутренних областях.

Физическая энциклопедия: ЭВОЛЮЦИЯ ЗВЁЗД — изменение со временем физ. параметров и наблюдаемых характеристик звёзд в результате протекания ядерных реакций, излучения энергии и потери массы.

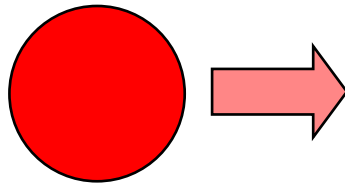
Википедия: Большинство химических элементов, кроме нескольких самых лёгких, возникли во Вселенной *главным образом в ходе звёздного нуклеосинтеза*

Эволюция звёзд

СХЕМА!

WD: $M \sim 0.6 M_{\text{SUN}}$,
 $R \sim 5000 \text{ km}$,
 $\bar{\rho} \sim 10^6 \text{ g/cm}^3$

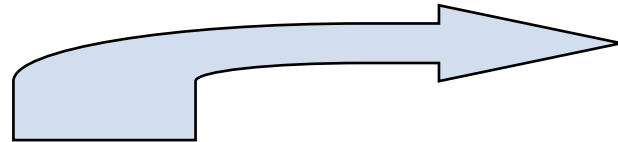
Нормальная звезда



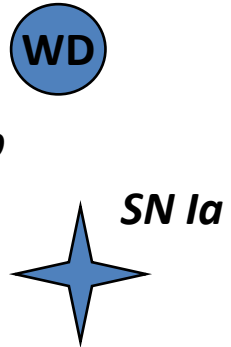
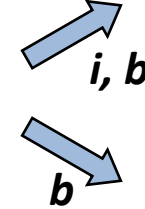
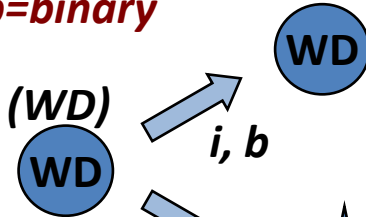
NS: $M \sim 1.4 M_{\text{SUN}}$,
 $R \sim 10 \text{ km}$,
 $\bar{\rho} \sim 10^{15} \text{ g/cm}^3$

BH: $R = 2GM / c^2 \approx$
 $3 M / M_{\text{SUN}} \text{ km}$

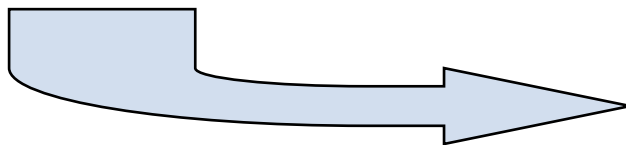
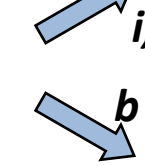
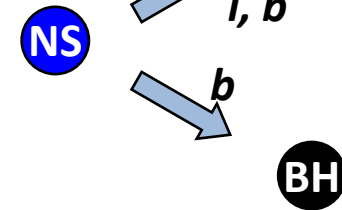
$M < 8 M_{\text{SUN}}$
 тихий сброс оболочки,
 образование белого карлика (WD)



i=isolated
b=binary



$M = (8 - 25) M_{\text{SUN}}$
 взрыв сверхновой (SN II)
 образование нейтронной звезды

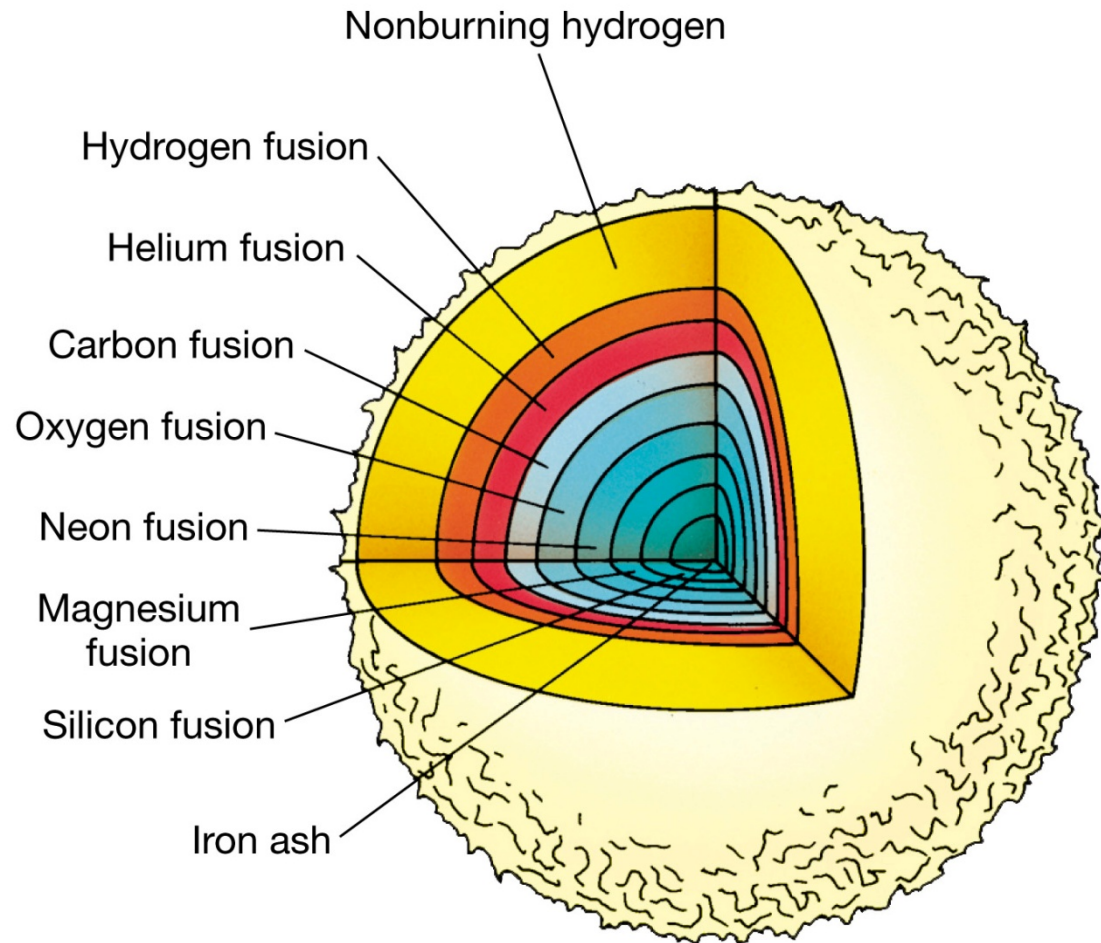


$M > 25 M_{\text{SUN}}$
 коллапс в черную дыру (BH)



WD, NS, BH = звездное кладбище

Луковичная структура на поздних стадиях эволюции



(картинка с сайта <http://www2.astro.psu.edu/users/cpalma/astro10/class12.html>)

Ядерные реакции в звездной плазме

Лекция 1 . Термоядерные реакции в звёздной плазме

1. Нерезонансные реакции: астрофизический фактор, гамовский пик
2. Вклад резонансов в термоядерное горение
3. Экспериментальные данные об астрофизических факторах
4. Астрофизические факторы в модели проникновения под барьер и база данных астрофизических факторов

Лекция 2. Пять режимов ядерных реакций в звёздной плазме

1. Пять режимов ядерных реакций: термоядерное горение, термоядерное горение с сильным экранированием, термопикноядерное горение, пикноядерное горение с тепловым усилением, пикноядерное горение при нулевой температуре
2. Усиление ядерных реакций в модели среднего поля
3. Пикноядерное горение при нулевой температуре

Термоядерные реакции



На примере Солнца: Светимость $L = 4 \times 10^{33} \text{ erg/s}$

Энерговыделение $\eta = \frac{L}{M} = 2 \text{ erg/g/s}$

Скорость реакции: $R = \frac{1}{1 + \delta_{ij}} n_i n_j v \sigma(E)$

Энерговыделение реакции: $\eta = RQ/\rho$

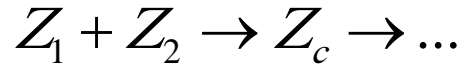
Наивно: $E \sim T$ → Сложно проникнуть под кулоновский барьер. Очень малое сечение, реакция не идёт

$E \sim E_C$ → Очень мало частиц с такой энергией, реакция не идёт



$$\langle v \sigma(E) \rangle$$

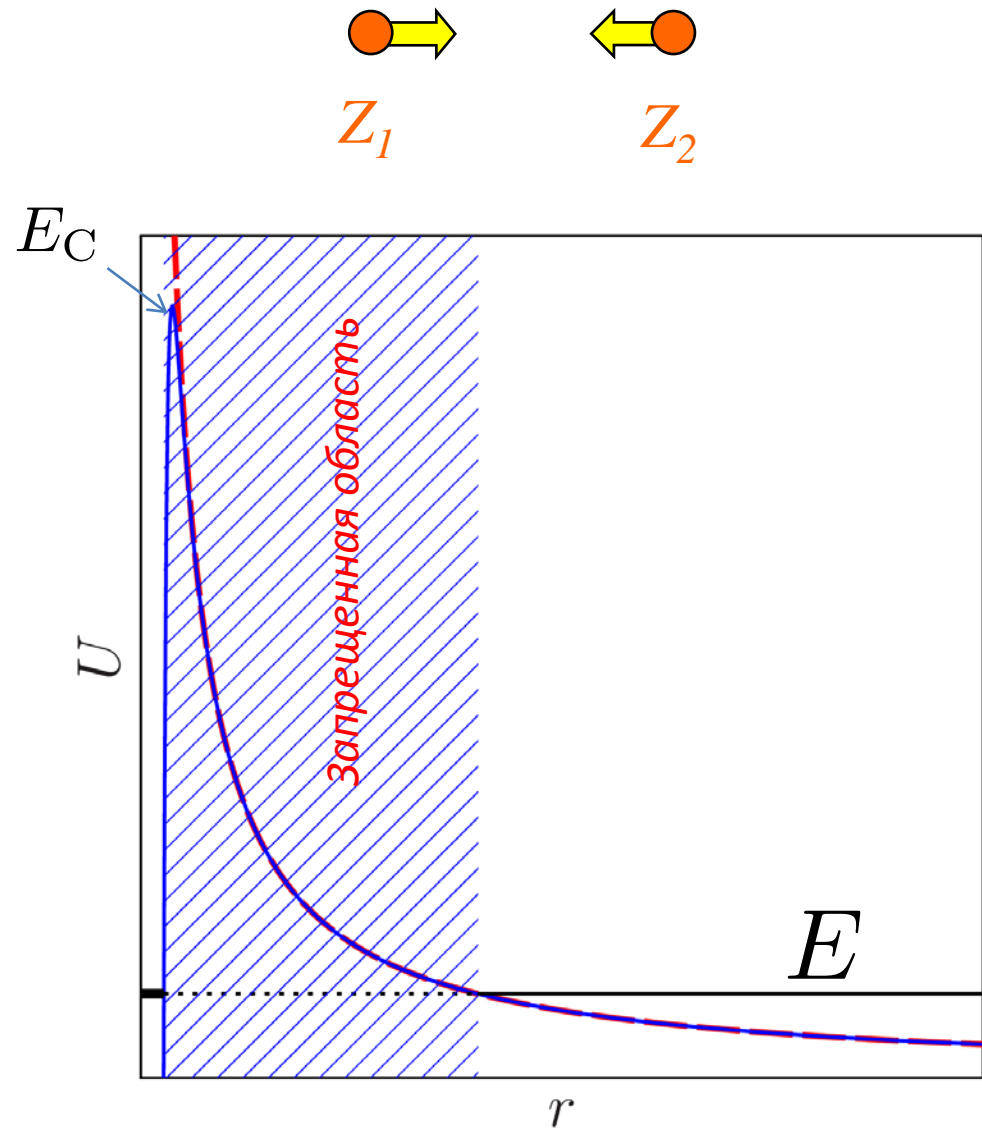
Кулоновский барьер. Сечение и астрофизический фактор



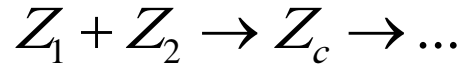
Скорость реакции:

$$R = \frac{n_1 n_2}{1 + \delta_{12}} \langle v \sigma \rangle \frac{\text{реакций}}{\text{см}^3 \text{ с}}$$

$$\int_0^{\infty} dv v^3 e^{-E/T} \sigma(E)$$



Кулоновский барьер. Сечение и астрофизический фактор



Скорость реакции:

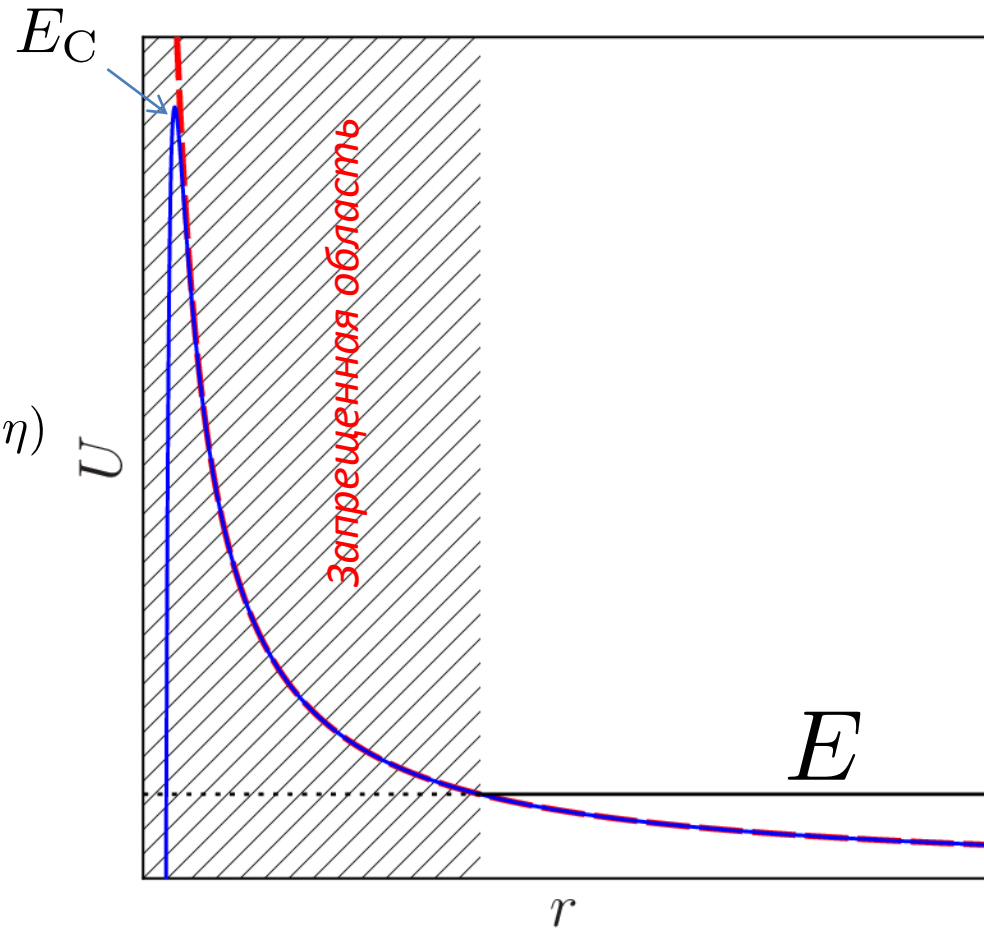
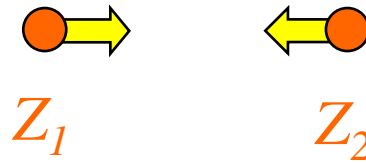
$$R = \frac{n_1 n_2}{1 + \delta_{12}} \langle v \sigma \rangle \frac{\text{реакций}}{\text{см}^3 \text{ с}}$$

$$\int_0^{\infty} dv v^3 e^{-E/T} \sigma(E)$$

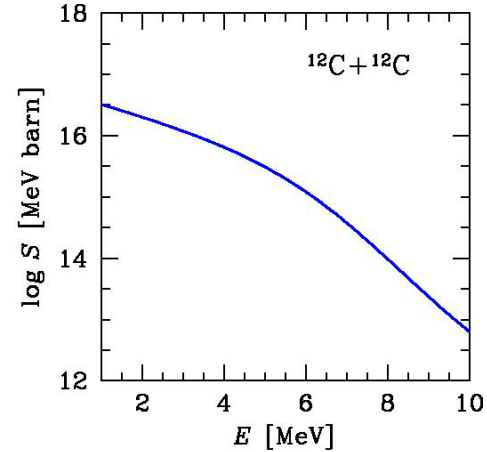
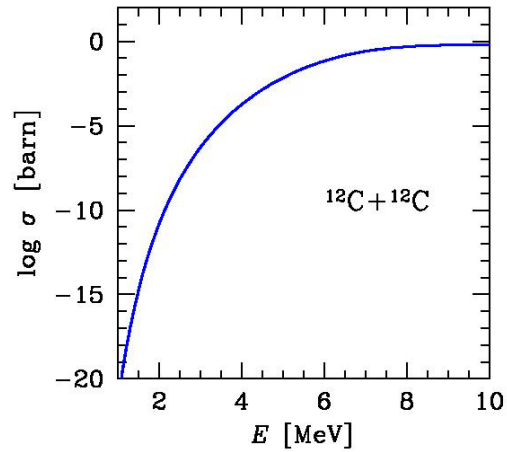
$$\sigma(E) = \frac{S(E)P(E)}{E}, \quad P(E) = \exp(-2\pi\eta)$$

$$\eta(E) = \frac{1}{\pi\hbar} \int_{r_1}^{r_2} |p(r)| dr = \frac{Z_1 Z_2 e^2}{\hbar v}$$

$$v = \sqrt{2E/\mu}$$



Нерезонансные термоядерные реакции: Гамовский пик



$$R \propto \langle \sigma v \rangle \propto \int_0^\infty \sigma(E) \exp(-E/T) E dE = \int_0^\infty S(E) \exp(-2\pi\eta) \exp(-E/T) dE$$

$$\eta = \frac{Z_i Z_j e^2}{\hbar} \left(\frac{\mu_{ij}}{2E} \right)^{1/2} = \frac{b}{2\pi E^{1/2}}$$

$$b = 0.99 Z_i Z_j \tilde{\mu}_{ij}^{1/2} \text{ MeV}^{1/2}$$

$$\tilde{\mu}_{ij} = A_i A_j / (A_i + A_j)$$

$$1 \text{ MeV} = 1.16 \times 10^{10} \text{ K}$$

$$S(E) \exp\left(-\left(\frac{E}{T} + \frac{b}{\sqrt{E}}\right)\right)$$

Плавная функция

Подавляет вклад высоких энергий

Подавляет вклад низких энергий

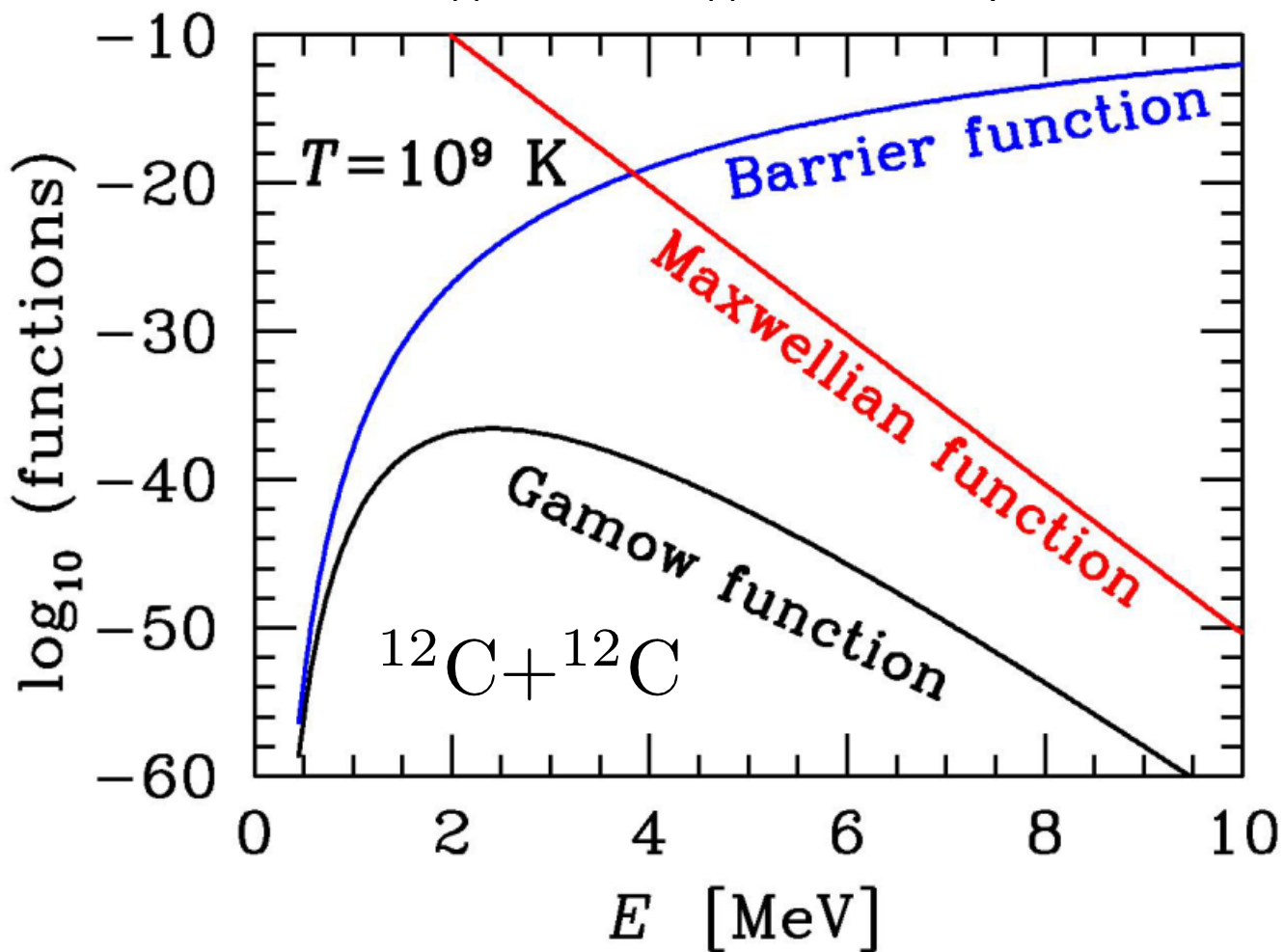
Нерезонансные термоядерные реакции: Гамовский пик

$$f_G = \exp\left(-\left(\frac{E}{T} + \frac{b}{\sqrt{E}}\right)\right)$$

Резкая функция

Подавляет вклад высоких энергий

Подавляет вклад низких энергий



Нерезонансные термоядерные реакции: Гамовский пик

$$f_G = \exp\left(-\left(\frac{E}{T} + \frac{b}{\sqrt{E}}\right)\right)$$

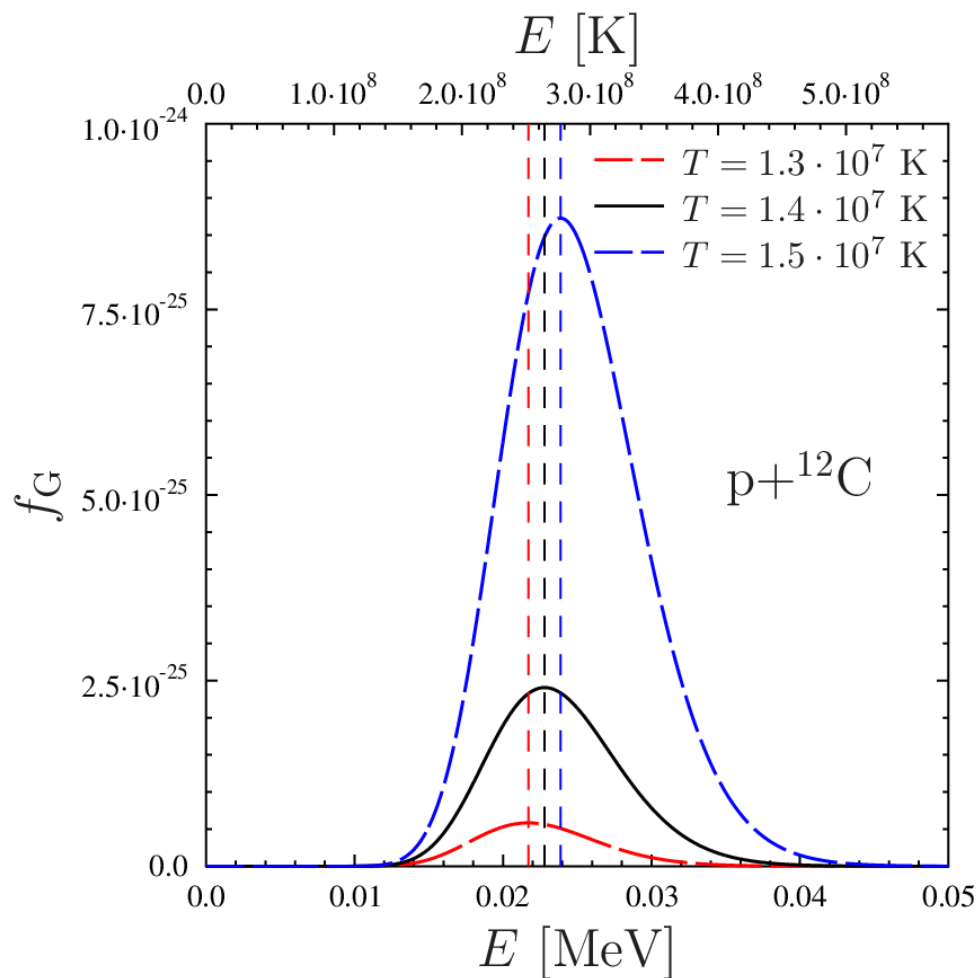
Резкая функция

Подавляет вклад высоких энергий

Подавляет вклад низких энергий

$$E_{pk}/T = (b^2/4T)^{1/3} \gg 1$$

$$E_{pk} = 5.7 [Z_i^2 Z_j^2 \tilde{\mu} (T/10^7 \text{ K})^2]^{1/3} \text{ keV}$$



Нерезонансные термоядерные реакции: метод перевала

$$f_G \approx \exp \left(-3E_{\text{pk}}/T - \frac{3}{4E_{\text{pk}}T} (E - E_{\text{pk}})^2 \right)$$

Положение пика

$$E_{\text{pk}}/T = (b^2/4T)^{1/3} \gg 1$$

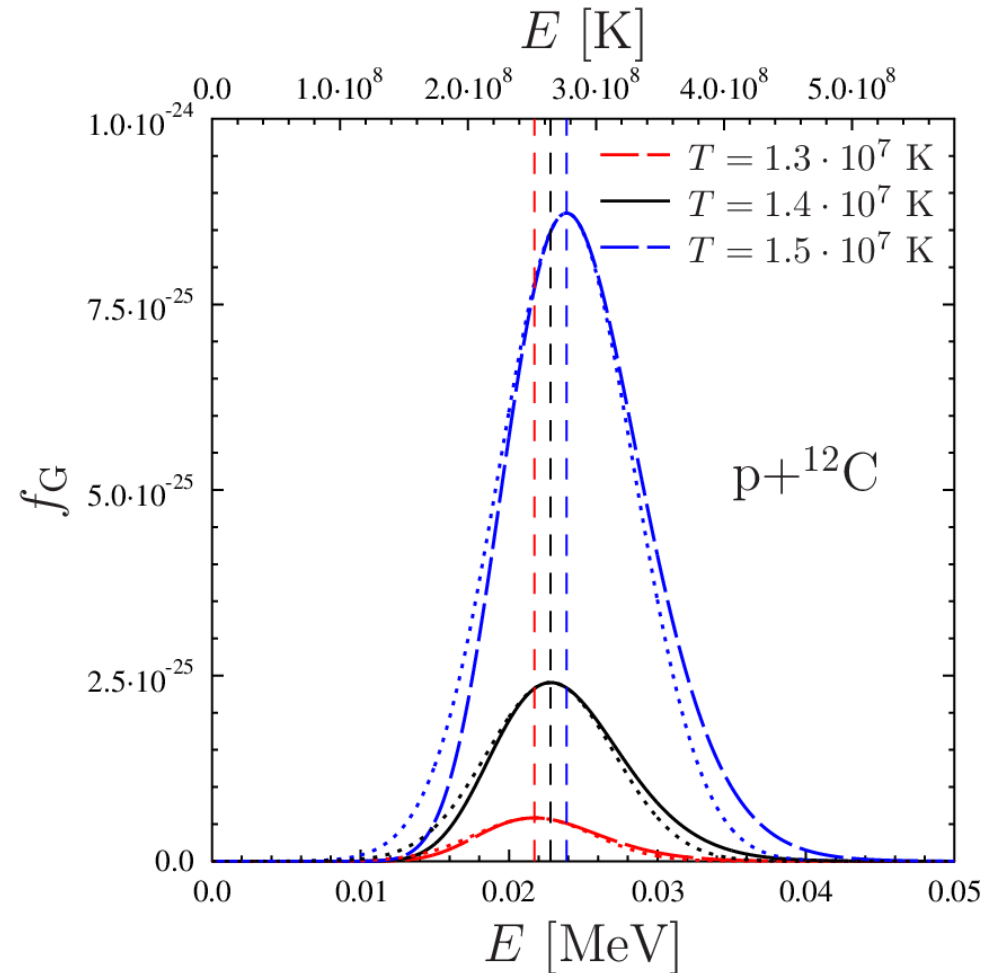
$$E_{\text{pk}} = 5.7 [Z_i^2 Z_j^2 \tilde{\mu} (T/10^7 \text{ K})^2]^{1/3} \text{ keV}$$

Ширина пика

$$T \ll \Delta E \sim 4\sqrt{E_{\text{pk}}T/3} \ll E_{\text{pk}}$$

$$\langle \sigma v \rangle \propto \int_0^\infty S(E) \exp(-(E/T + b/\sqrt{E})) dE$$

$$\langle \sigma v \rangle \approx 4\sqrt{\frac{2E_{\text{pk}}}{3\mu}} \frac{S(E_{\text{pk}})}{T} \exp\left(-\frac{3E_{\text{pk}}}{T}\right)$$



Нерезонансные термоядерные реакции: уточненная формула

$$R \propto \int_0^{\infty} S(E) \exp\left(-\left(E/T + b/\sqrt{E}\right)\right) dE$$

$$E = E_{\text{pk}} \left(1 + \sqrt{\frac{T}{3E_{\text{pk}}}} u\right)^2 = E_{\text{pk}} \left(1 + \tau^{-1/2} u\right)^2$$

$$R \propto \int_{-\tau^{1/2}}^{\infty} \left(\tau^{1/2} + u\right) S\left(E_{\text{pk}} \left(1 + \tau^{-1/2} u\right)\right) \times e^{-u^2} \exp\left(\frac{2u^3}{3} \left(\tau^{1/2} + u\right)^{-1}\right) du$$

Основной вклад от малых u

В ряд по u

Нерезонансные термоядерные реакции: уточненная формула

$$R \propto \int_0^{\infty} S(E) \exp \left(- \left(E/T + b/\sqrt{E} \right) \right) dE$$

$$S(E) \approx S(E_{\text{pk}}) + S'(E_{\text{pk}})(E - E_{\text{pk}}) + \frac{(E - E_{\text{pk}})^2}{2} S''(E_{\text{pk}})$$

$$\langle \sigma v \rangle \approx 4 \sqrt{\frac{2E_{\text{pk}}}{3\mu}} \frac{S_{\text{eff}}}{T} \exp \left(- \frac{3E_{\text{pk}}}{T} \right)$$

$$S_{\text{eff}} \approx S(E_{\text{pk}}) \left[1 + \frac{T}{3E_{\text{pk}}} \left(\frac{5}{12} + \frac{5}{2} \frac{S'(E_{\text{pk}})E_{\text{pk}}}{S(E_{\text{pk}})} + \frac{S''(E_{\text{pk}})E_{\text{pk}}^2}{S(E_{\text{pk}})} \right) \right]$$

$$\approx S(0) \left(1 + \frac{5T}{36E_{\text{pk}}} \right) + S'(0)E_{\text{pk}} \left(1 + \frac{35T}{36E_{\text{pk}}} \right)$$

$$+ \frac{1}{2} S''(0)E_{\text{pk}}^2 \left(1 + \frac{89T}{36E_{\text{pk}}} \right)$$

J.N. Bahcall, ApJ, **143** (1966), p.259;

W.A. Fowler et al., ARA&A **5** (1967), 525

Резонансные термоядерные реакции

$$\langle \sigma v \rangle \propto \int_0^{\infty} \sigma(E) \exp(-E/T) dE$$

Имеет резкий максимум

Сравнительно плавная функция
в области резонанса

$$\sigma = \frac{\pi \hbar^2}{2\mu_{ij} E} \frac{2J_r + 1}{(2J_i + 1)(2J_j + 1)} \frac{\Gamma_e \Gamma_r}{(E - E_r)^2 + \Gamma^2/4}$$

Сила резонанса

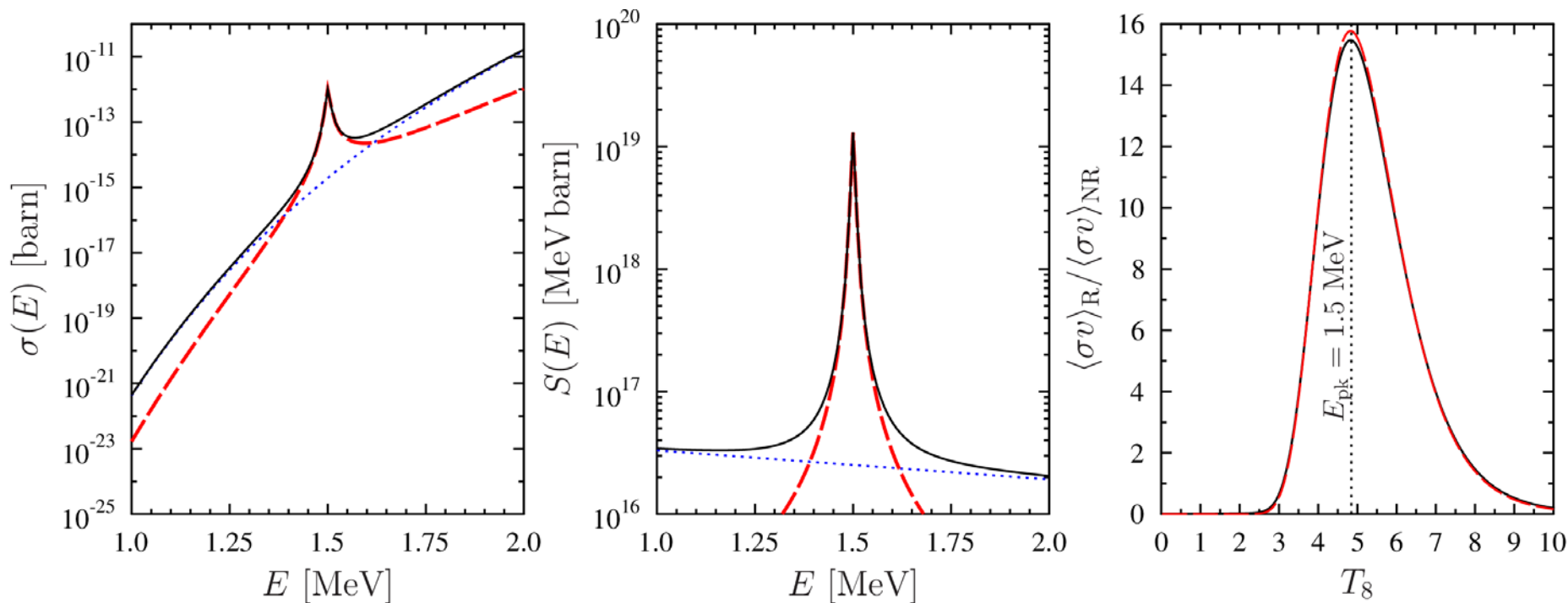
$$(\omega\gamma)_R = \frac{2J_r + 1}{(2J_i + 1)(2J_j + 1)} \frac{\Gamma_e \Gamma_r}{\Gamma}$$

$$\langle \sigma v \rangle_R \approx \sqrt{\frac{8}{\pi \mu_{ij} T^3}} \frac{\pi \hbar^2}{2\mu_{ij}} (\omega\gamma)_R \exp(-E_r/T) \int_0^{\infty} \frac{\Gamma}{(E - E_r)^2 + \Gamma^2/4} dE$$

2π

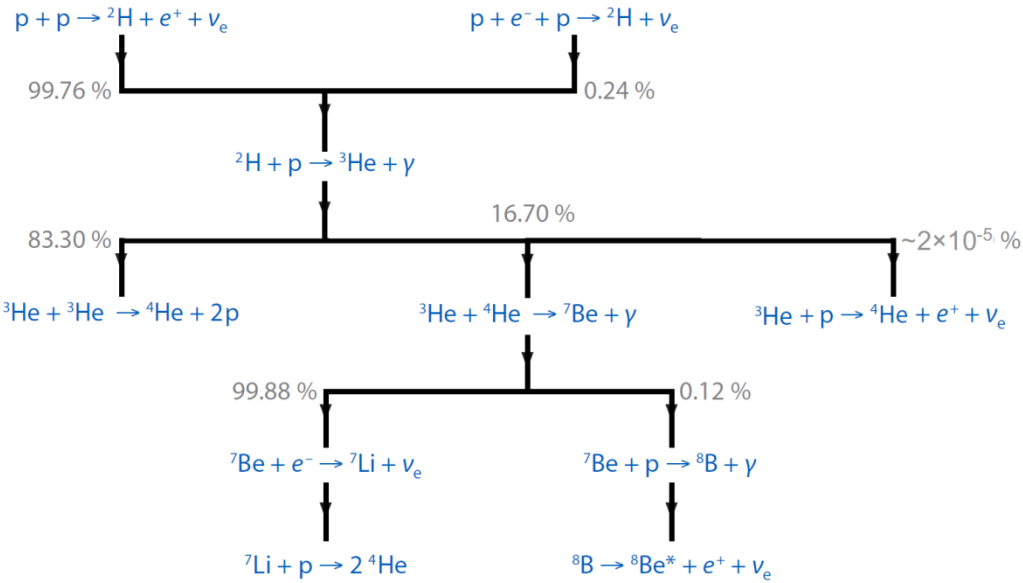
Резонансные термоядерные реакции

Пример: возможный резонанс в реакции $^{12}\text{C}+^{12}\text{C}$



- Резонансы могут существенно повышать скорость реакции
- Они особенно эффективны когда $E_R \sim E_{\text{pk}}$

Цепочки ядерных реакций

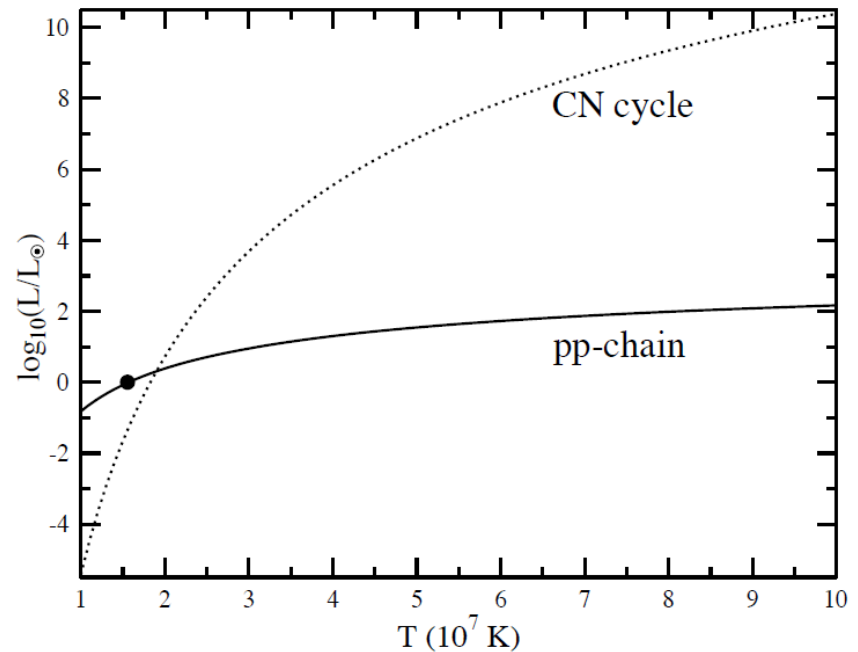
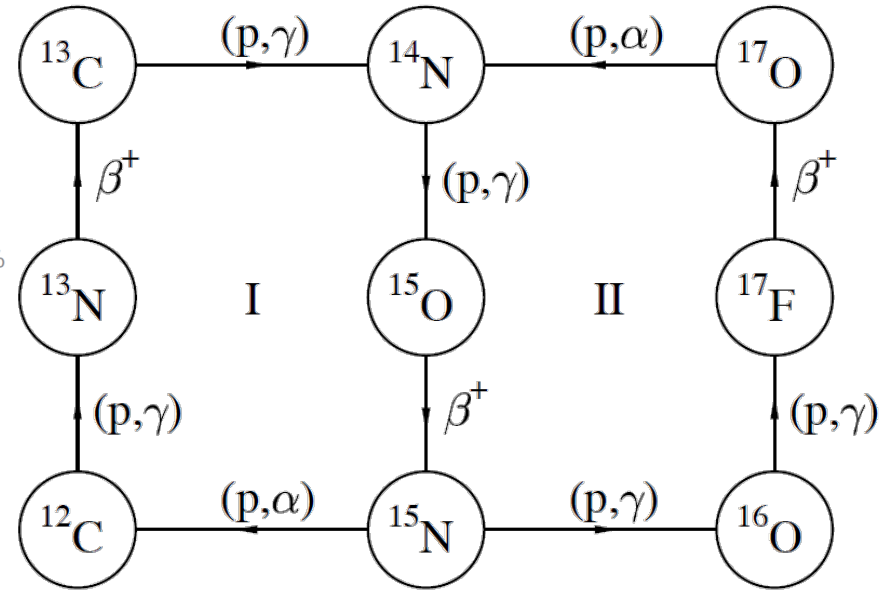


ppI

ppII

ppIII

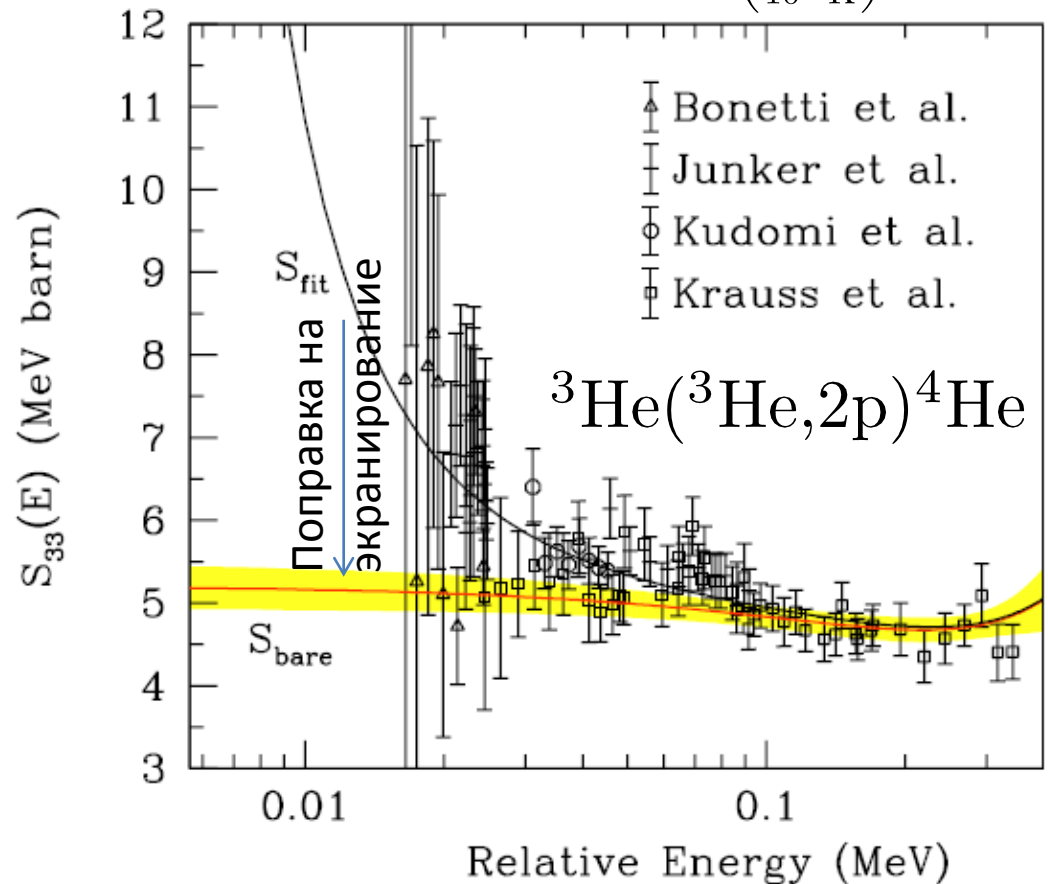
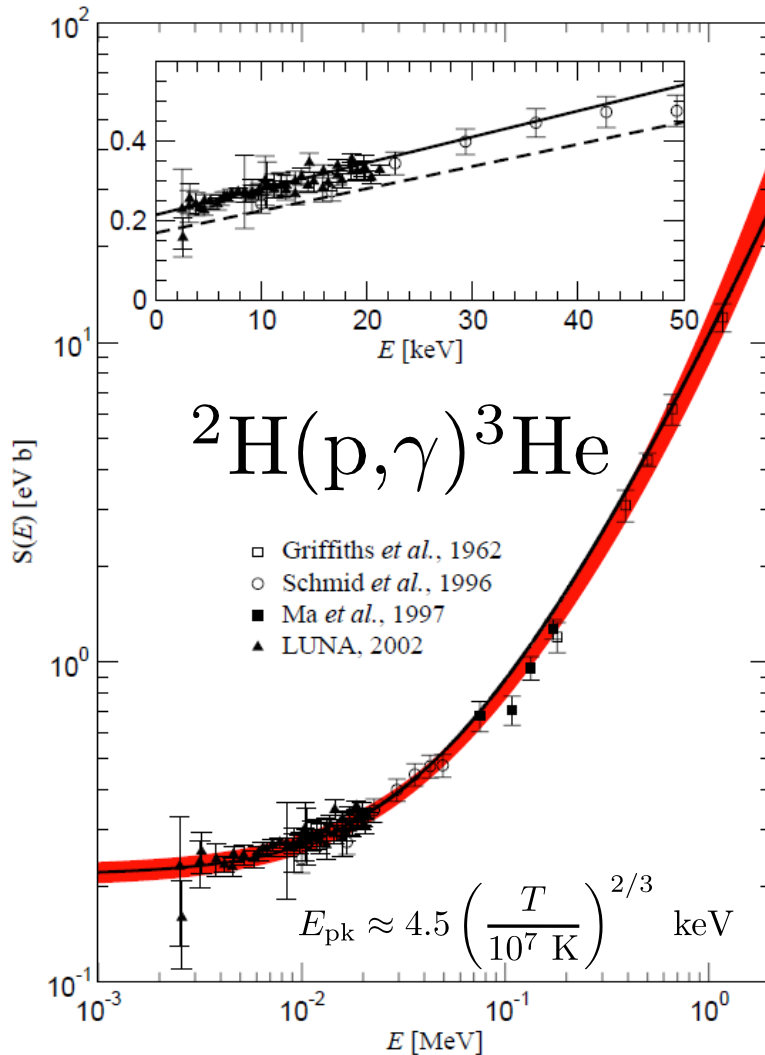
From: *Solar fusion cross sections II: the pp chain and CNO cycles*
 Adelberger et al., Rev. Mod. Phys. **83** (2011), 195-246



Астрофизические факторы: pp цикл

В звёздах реакции идут при низких энергиях, глубоко под кулоновским барьером. Сечение реакции очень *маленькое* и его *сложно* измерять в лаборатории

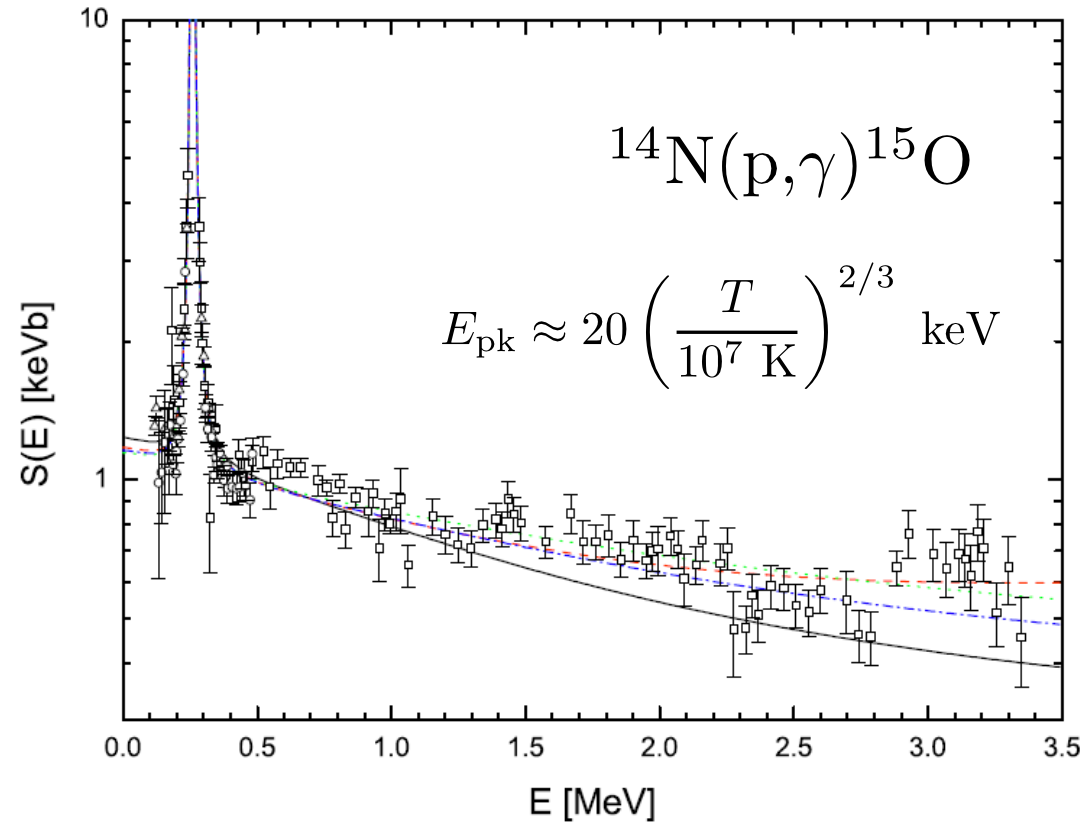
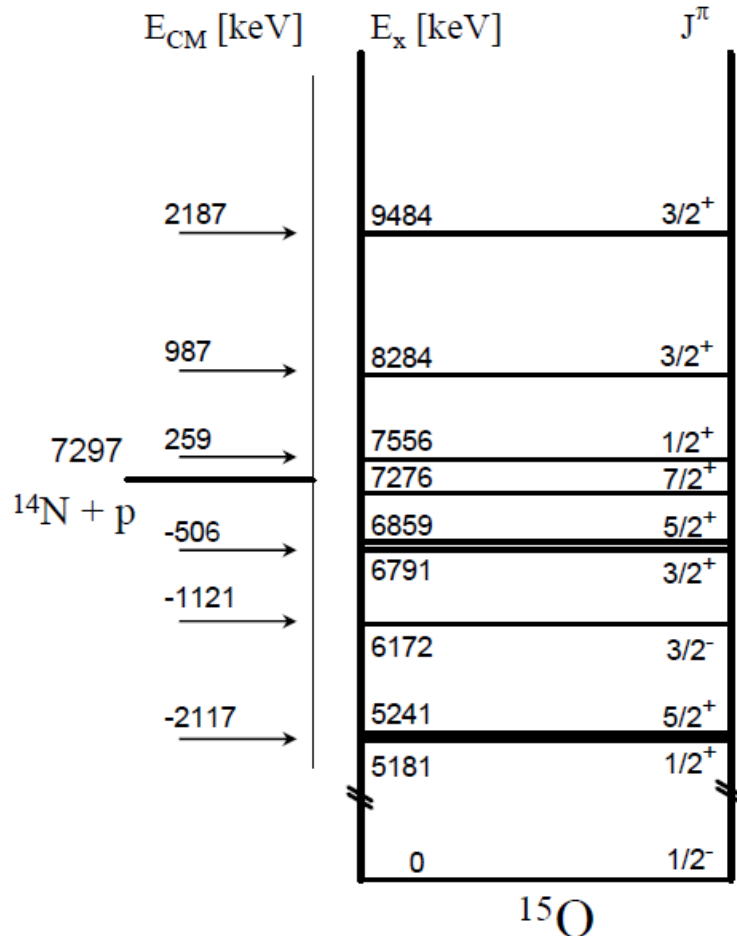
$$E_{pk} \approx 16 \left(\frac{T}{10^7 \text{ K}} \right)^{2/3} \text{ keV}$$



Figures from: Adelberger *et al.*, *Solar fusion cross sections II: the pp chain and CNO cycles*, Rev. Mod. Phys. **83** (2011), 195-246

Астрофизические факторы: CNO цикл

В звёздах реакции идут при низких энергиях, глубоко под кулоновским барьером. Сечение реакции очень *маленькое* и его **невозможно** измерять в лаборатории



Figures from: Adelberger et al., *Solar fusion cross sections II: the pp chain and CNO cycles*, Rev. Mod. Phys. **83** (2011), 195-246

CNO цикл

Reaction	Cycle	S(0) keV b	S'(0) b	S''(0) keV ⁻¹ b	References
¹² C(p, γ) ¹³ N	I	1.34 ± 0.21	2.6 × 10 ⁻³	8.3 × 10 ⁻⁵	Recommended: Solar Fusion I
¹³ C(p, γ) ¹⁴ N	I	7.6 ± 1.0 7.0 ± 1.5	-7.83 × 10 ⁻³	7.29 × 10 ⁻⁴	Recommended: Solar Fusion I NACRE: Angulo <i>et al.</i> (1999)
¹⁴ N(p, γ) ¹⁵ O	I	1.66 ± 0.12	-3.3 × 10 ⁻³	4.4 × 10 ⁻⁵	Recommended: this paper
¹⁵ N(p, α) ¹² C	I	(7.3 ± 0.5) × 10 ⁴	351	11	Recommended: this paper
¹⁵ N(p, γ) ¹⁶ O	II	36 ± 6 64 ± 6 29.8 ± 5.4			Mukhamedzhanov <i>et al.</i> (2008) Rolfs and Rodney (1974) Hebbard (1960)
¹⁶ O(p, γ) ¹⁷ F	II	10.6 ± 0.8	-0.054		Recommended: this paper
¹⁷ O(p, α) ¹⁴ N	II		Resonances		Chafa <i>et al.</i> (2007)
¹⁷ O(p, γ) ¹⁸ F	III	6.2 ± 3.1	1.6 × 10 ⁻³	-3.4 × 10 ⁻⁷	Chafa <i>et al.</i> (2007)
¹⁸ O(p, α) ¹⁵ N	III		Resonances		See text
¹⁸ O(p, γ) ¹⁹ F	IV	15.7 ± 2.1	3.4 × 10 ⁻⁴	-2.4 × 10 ⁻⁶	Recommended: Solar Fusion I

From: *Solar fusion cross sections II: the pp chain and CNO cycles*
Adelberger et al., Rev. Mod. Phys. **83** (2011), 195-246

Астрофизические факторы: горение углерода и кислорода

В звёздах реакции идут при низких энергиях, глубоко под кулоновским барьером. Сечение реакции очень *маленькое* и его **невозможно** измерять в лаборатории

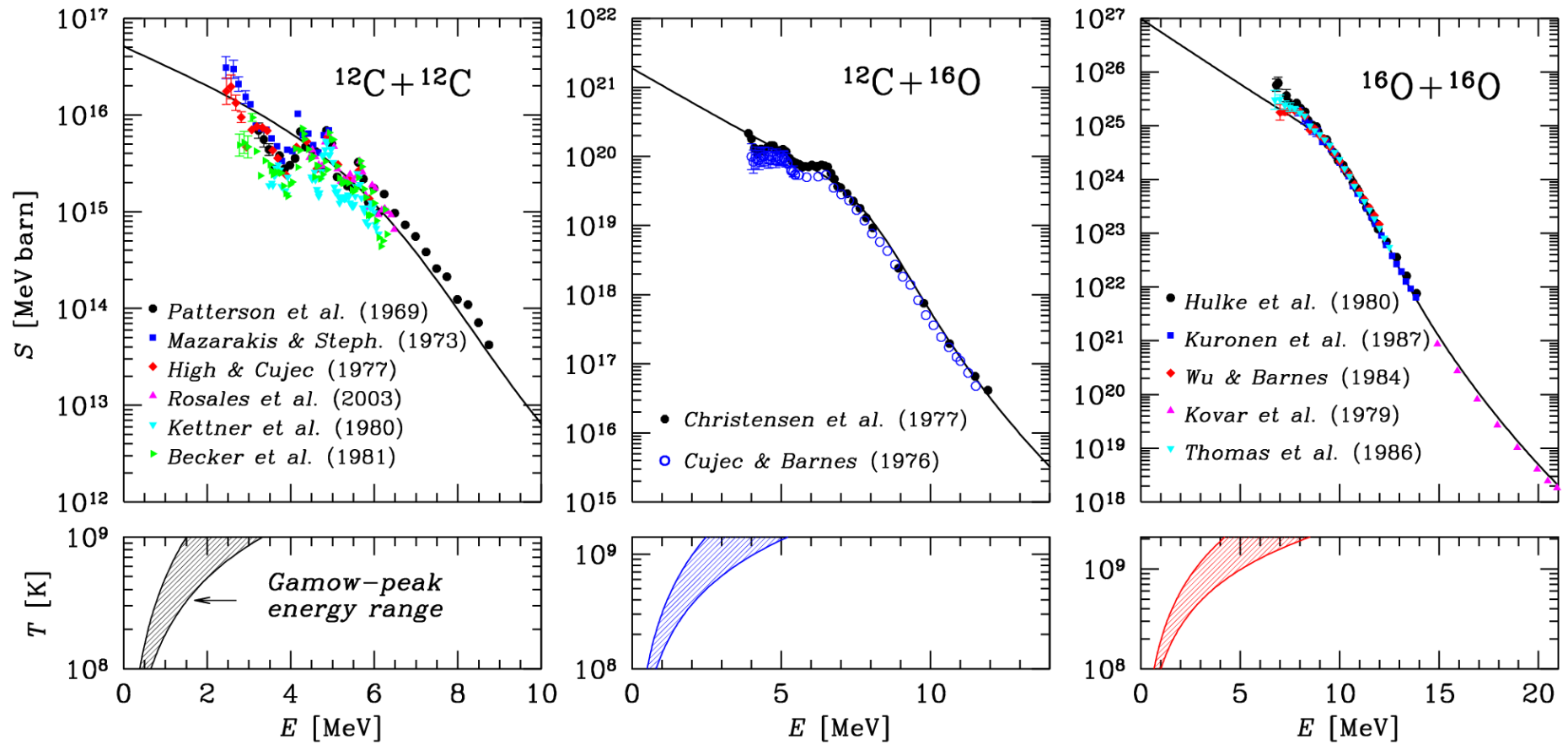


Рисунок из статьи Yakovlev et al., PRC 74 (2006), 035803

Астрофизические факторы: о влиянии погрешностей

Для моделирования ядерного горения в звезде требуется знать зависимость скорости ядерных реакций от параметров

$$R_{ij}(n, \{x_k = n_k/n\}, T) \propto S_{\text{eff}}$$

Пусть аппроксимация неточна $S_{\text{eff}}^{\text{appr}} = (1 + \epsilon) S_{\text{eff}}^{\text{real}}$

$$R_{ij}^{\text{calc}} = (1 + \epsilon) R_{ij}^{\text{real}}(n, \{x_k\}, T)$$

Но такая скорость реакции реализуется при $\tilde{T} \approx T(1 + \epsilon/A_T)$

$$R_{ij}^{\text{calc}}(n, \{x_k\}, T) = R_{ij}^{\text{real}}(n, \{x_k\}, \tilde{T})$$

$$A_T = \frac{T}{R_{ij}} \frac{\partial R_{ij}}{\partial T} \approx \frac{E_{\text{pk}}}{T} - \frac{2}{3} \sim \begin{cases} 4, & \text{pp} \\ 15, & \text{p} + {}^{14}\text{N} \\ 50 & {}^{12}\text{C} + {}^{12}\text{C} \end{cases}$$

Астрофизические факторы: модель проникновения под барьер

Для моделирования ядерных реакций в звёздах требуется знать сечения реакций при низких энергиях, недоступных для прямого измерения в лаборатории. Эти сечения приходится рассчитывать теоретически (в рамках моделей).

Простейшая модель:

Проникновение под барьер

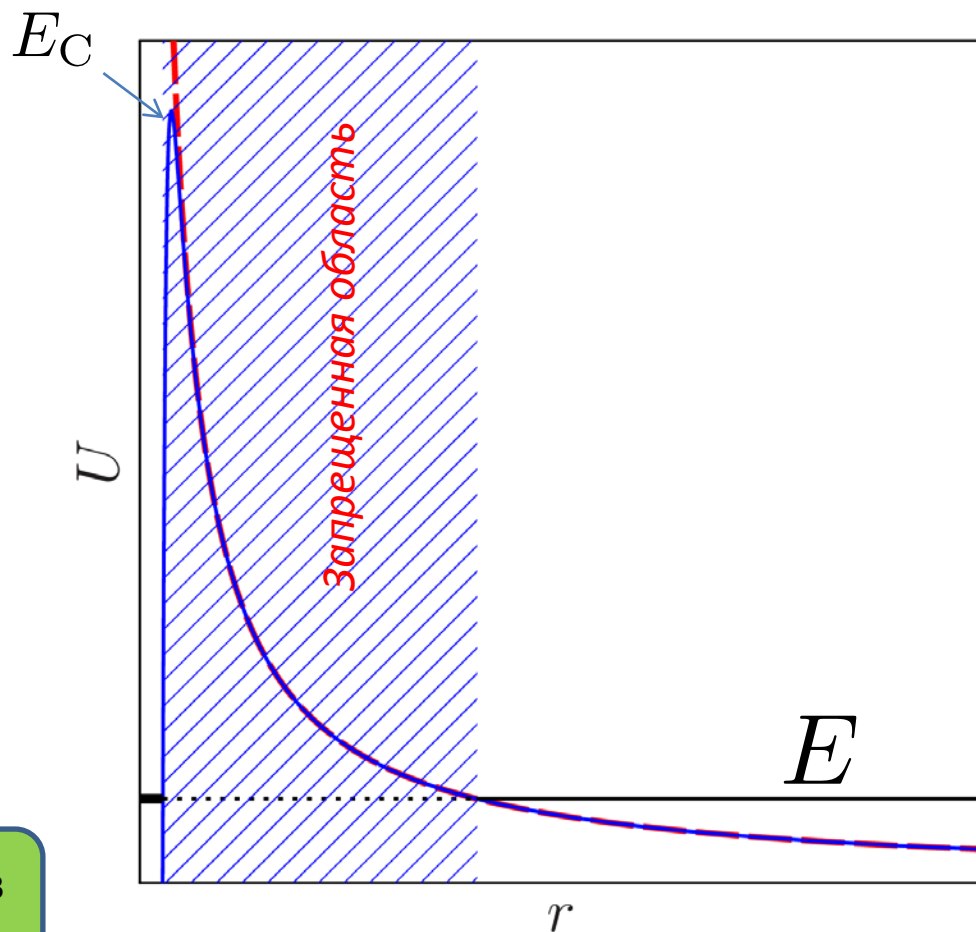
Эффективный потенциал:

$$U_{\text{eff}} = U_C(R) + U_{\text{nuc}} + \frac{l(l+1)\hbar^2}{2\mu R^2}$$

↑
Описывает ядерную физику

$$\sigma(E) = \frac{\pi}{k^2} \sum_{l=0}^{l_{\text{max}}} (2l+1) T_l$$

Рассчитывается вероятность попасть в область ядерного взаимодействия



Астрофизические факторы: модель проникновения под барьер

$$U_{\text{eff}} = U_{\text{C}}(R) + U_{\text{nuc}} + \frac{l(l+1)\hbar^2}{2\mu R^2}$$

$$\sigma(E) = \frac{\pi}{k^2} \sum_{l=0}^{l_{\text{max}}} (2l+1) T_l = \frac{\pi \hbar^2}{2\mu E} \sum_{l=0}^{l_{\text{max}}} (2l+1) T_l$$

$$T_l = P_l [1 + \exp(S_l)]^{-1}$$

$$S_l = 2 \int_{r_1}^{r_2} \frac{\sqrt{2\mu(U_{\text{eff}} - E)}}{\hbar} dr$$

$$\sigma = \frac{S(E)P(E)}{E}, \quad P(E) = \exp(-2\pi\eta)$$

$$\eta(E) = 2 \int_0^{r_2} \frac{\sqrt{2\mu(U_{\text{C}} - E)}}{2\pi\hbar} dr = \frac{Z_1 Z_2 e^2}{\hbar v}$$

$$S(E) = \frac{\pi \hbar^2}{2\mu} \tilde{S}$$

- Влияние ядерного взаимодействия
- Вклад высших мультиполей

Астрофизические факторы: модель проникновения под барьер

$$U_{\text{eff}} = U_{\text{C}}(r) + U_{\text{nuc}} + \frac{l(l+1)\hbar^2}{2\mu r^2}$$

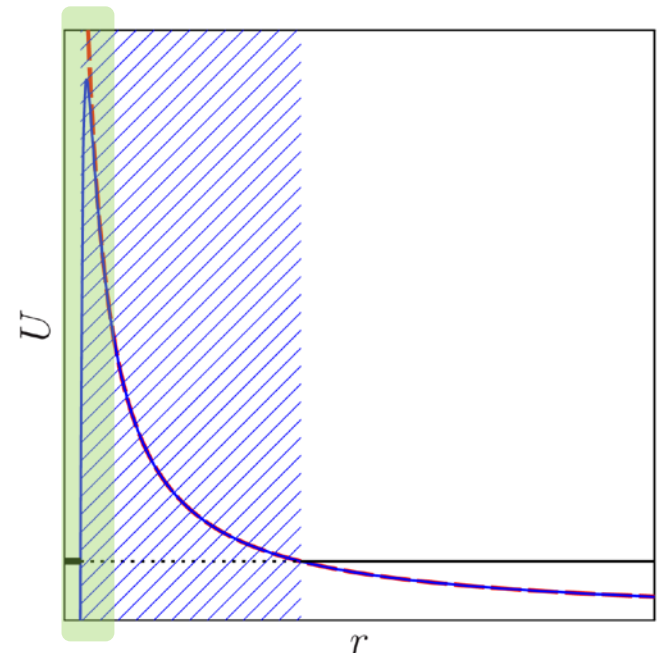
$$\sigma(E) = \frac{\pi}{k^2} \sum_{l=0}^{l_{\text{max}}} (2l+1) T_l = \frac{\pi \hbar^2}{2\mu E} \sum_{l=0}^{l_{\text{max}}} (2l+1) T_l$$

$$T_l = P_l [1 + \exp(S_l)]^{-1} \quad S_l = 2 \int_{r_1}^{r_2} \frac{\sqrt{2\mu(U_{\text{eff}} - E)}}{\hbar} dr$$

$$S(E) = \frac{\pi \hbar^2}{2\mu} \tilde{S}$$

$$l=0: \quad \tilde{S}_{l=0} = \frac{\exp(-2 \int_{r_1}^{r_2} \sqrt{2\mu(U_{\text{eff}} - E)}/\hbar dr)}{\exp(-2 \int_0^{R_0} \sqrt{2\mu(U_{\text{C}} - E)}/\hbar dr)}$$

$$\tilde{S}_{l=0} = \frac{\exp(-2 \int_{r_1}^{R_0} \sqrt{2\mu(U_{\text{eff}} - E)}/\hbar dr)}{\exp(-2 \int_0^{R_0} \sqrt{2\mu(U_{\text{C}} - E)}/\hbar dr)}$$



Астрофизические факторы: модель проникновения под барьер

$$U_{\text{eff}} = U_{\text{C}}(R) + U_{\text{nuc}} + \frac{l(l+1)\hbar^2}{2\mu R^2}$$

$$\sigma(E) = \frac{\pi}{k^2} \sum_{l=0}^{l_{\text{max}}} (2l+1) T_l = \frac{\pi \hbar^2}{2\mu E} \sum_{l=0}^{l_{\text{max}}} (2l+1) T_l$$

$$T_l = P_l [1 + \exp(S_l)]^{-1} \quad S_l = 2 \int_{r_1}^{r_2} \frac{\sqrt{2\mu(U_{\text{eff}} - E)}}{\hbar} dr$$

Простейшая модель: $U_{\text{eff}} = \begin{cases} \frac{Z_1 Z_2 e^2}{r} = E_{\text{C}} \frac{R_0}{r}, & r > R_0 \\ -U_0, & r < R_0 \end{cases}$

$$S_{l=0} \approx -4 \left(\frac{2\mu R_0^2}{\hbar^2} E_{\text{C}} \right)^{1/2} + bE^{1/2} + \frac{2\sqrt{2\mu} R_0}{3\hbar} \frac{E}{E_{\text{C}}^{1/2}}$$

$$\approx 1.05(\tilde{\mu} R Z_1 Z_2)^{1/2} \quad \approx (\tilde{\mu} R^3 / Z_1 Z_2)^{1/2} E / 8 \text{ MeV}$$



$$S \approx \frac{\pi \hbar^2}{2\mu} \exp \left(1.05(\tilde{\mu} R Z_1 Z_2)^{1/2} \right) \exp \left(-(\tilde{\mu} R^3 / Z_1 Z_2)^{1/2} E / 8 \text{ MeV} \right)$$

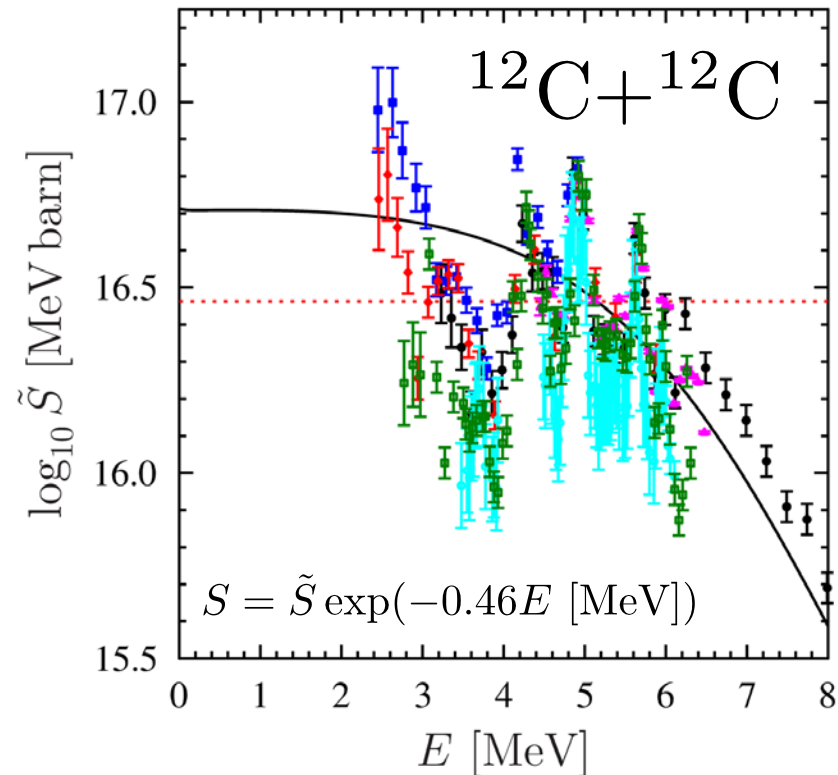
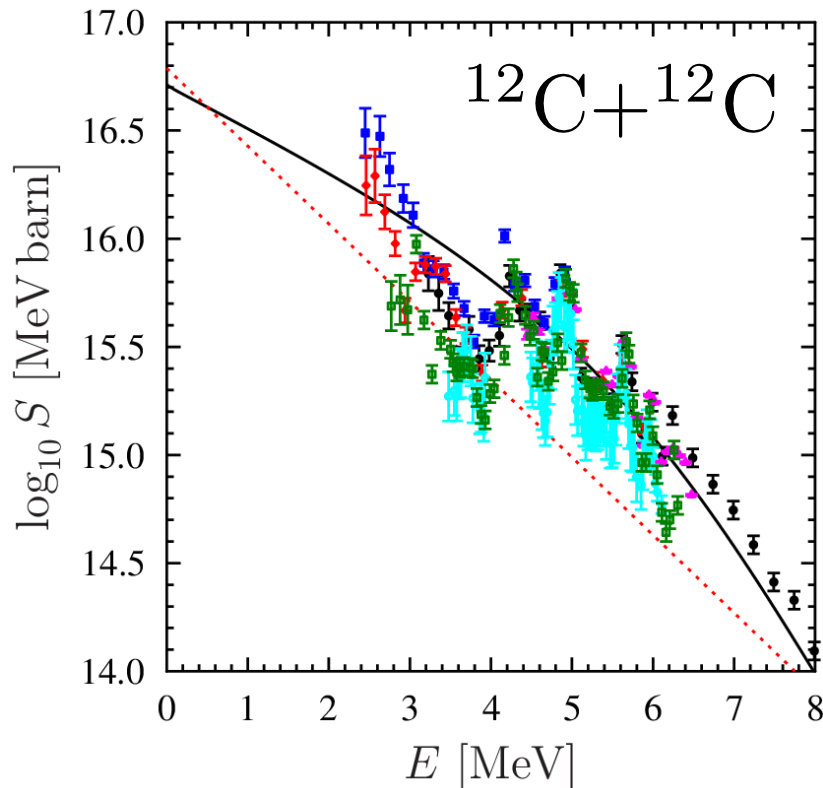
Астрофизические факторы: простейшая модель

$$U_{\text{eff}} = \begin{cases} \frac{Z_1 Z_2 e^2}{r} = E_C \frac{R}{r}, & r > R_0 \\ -U_0, & r < R_0 \end{cases} \quad \left| \quad R_0 \approx 1.4 \left(A_1^{1/3} + A_2^{1/3} \right) \text{ fm}$$

$$S \approx \frac{\pi \hbar^2}{2\mu} \exp \left(1.05 (\tilde{\mu} R Z_1 Z_2)^{1/2} \right) \exp \left(-(\tilde{\mu} R^3 / Z_1 Z_2)^{1/2} E / 8 \text{ MeV} \right)$$



Хорошая аппроксимация астрофизического фактора: $S = \tilde{S} \exp(-E/E_0)$



Астрофизические факторы: модель проникновения под барьер

$$U_{\text{eff}} = U_{\text{C}}(R) + U_{\text{nuc}} + \frac{l(l+1)\hbar^2}{2\mu R^2}$$

$$\sigma(E) = \frac{\pi}{k^2} \sum_{l=0}^{l_{\text{max}}} (2l+1)T_l = \frac{\pi\hbar^2}{2\mu E} \sum_{l=0}^{l_{\text{max}}} (2l+1)T_l$$

$$T_l = P_l [1 + \exp(S_l)]^{-1}$$

$$S_l = 2 \int_{r_1}^{r_2} \frac{\sqrt{2\mu(U_{\text{eff}} - E)}}{\hbar} dr$$

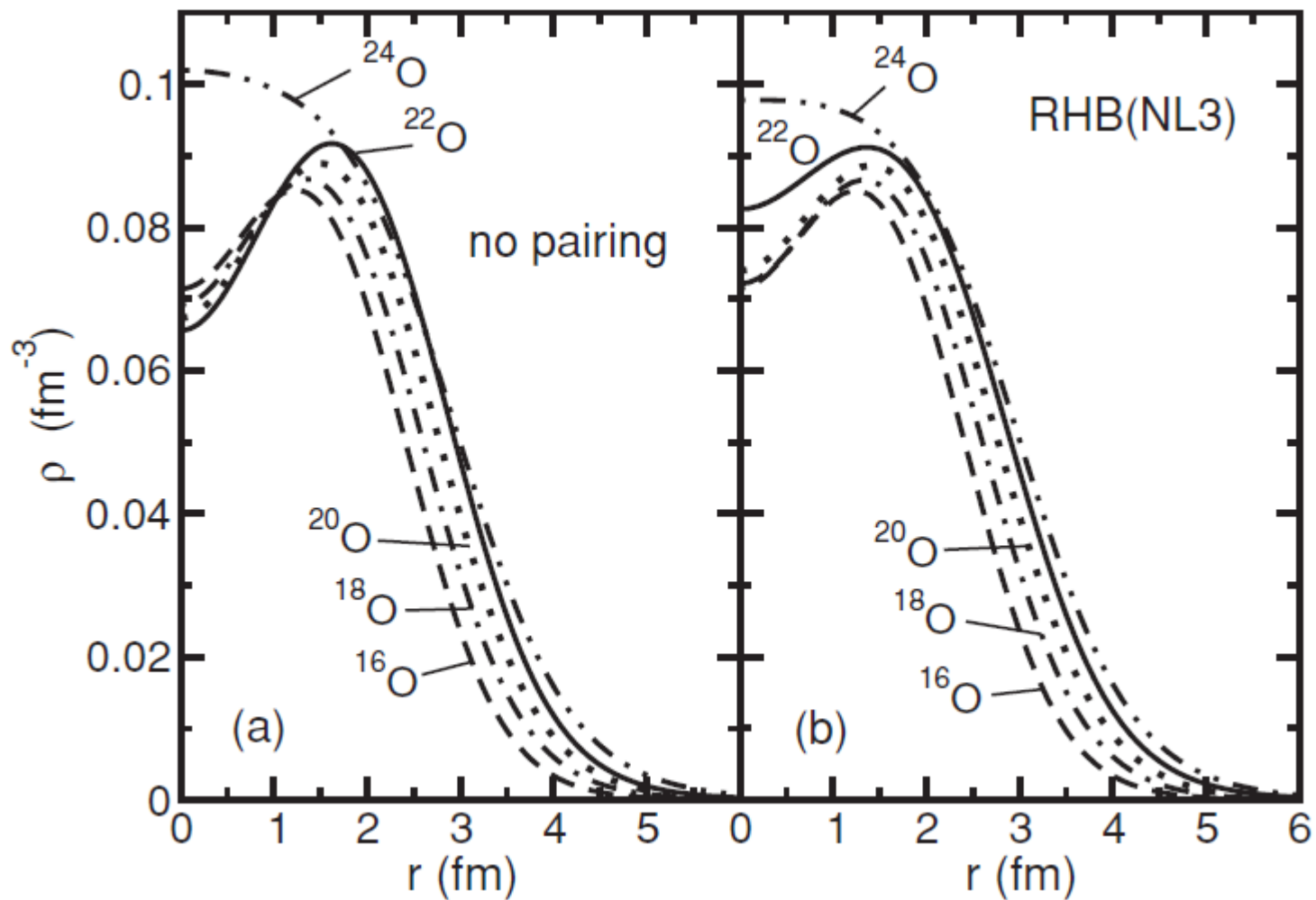
$$U_{\text{nuc}}(R) = \exp(-4v^2/c^2) \int \rho_2(\mathbf{r}_1)\rho_2(\mathbf{r}_2)V_0\delta(\mathbf{R} - \mathbf{r}_1 - \mathbf{r}_2)d\mathbf{r}_1d\mathbf{r}_2$$

$$V_0 \approx -456 \text{ MeV fm}^{-3}$$

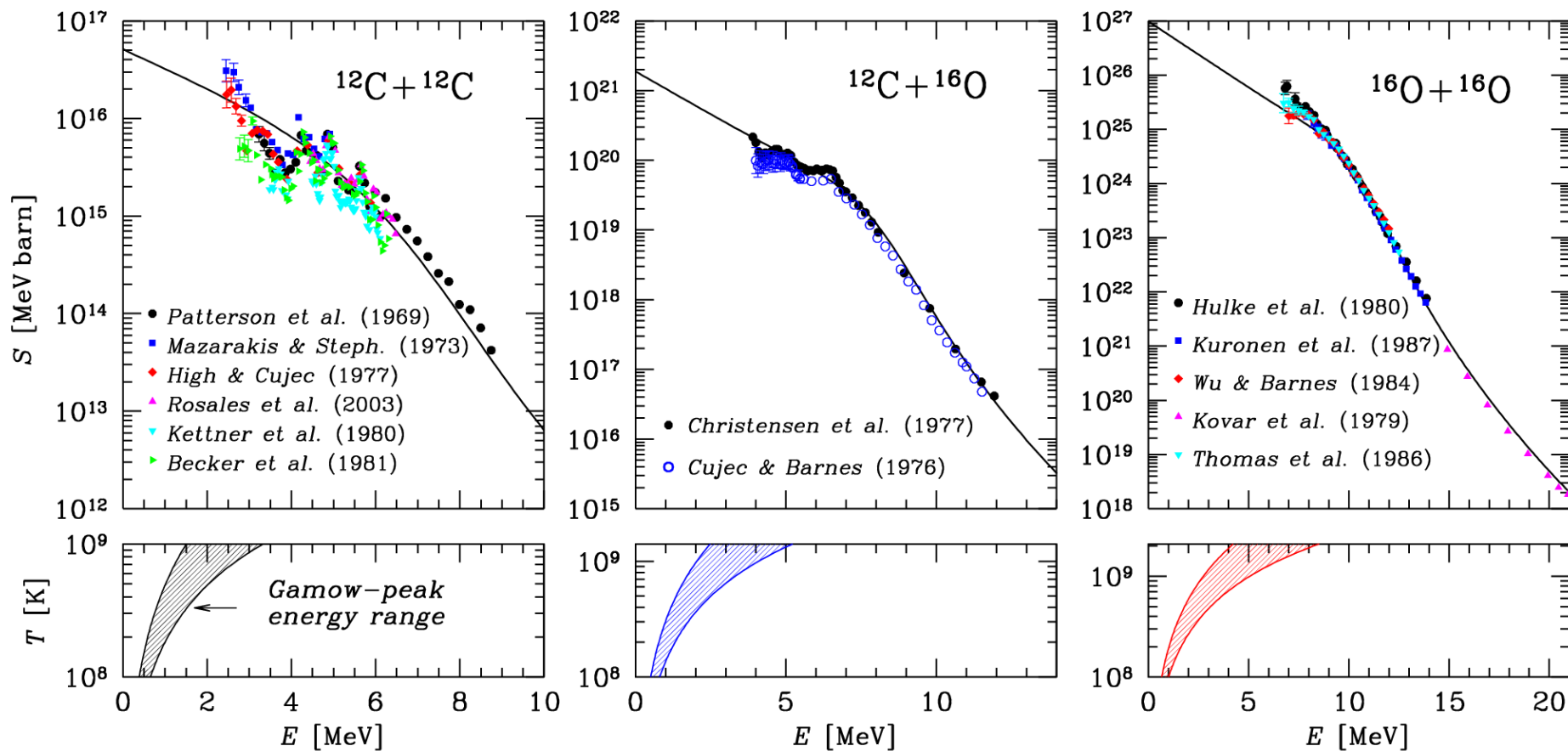
Астрофизические факторы: модель проникновения под барьер

$$U_{\text{nuc}}(R) = \exp(-4v^2/c^2) \int \rho_2(\mathbf{r}_1)\rho_2(\mathbf{r}_2)V_0\delta(\mathbf{R} - \mathbf{r}_1 - \mathbf{r}_2)d\mathbf{r}_1d\mathbf{r}_2$$

Релятивистское приближение Хартри-Фока-Боголюбова



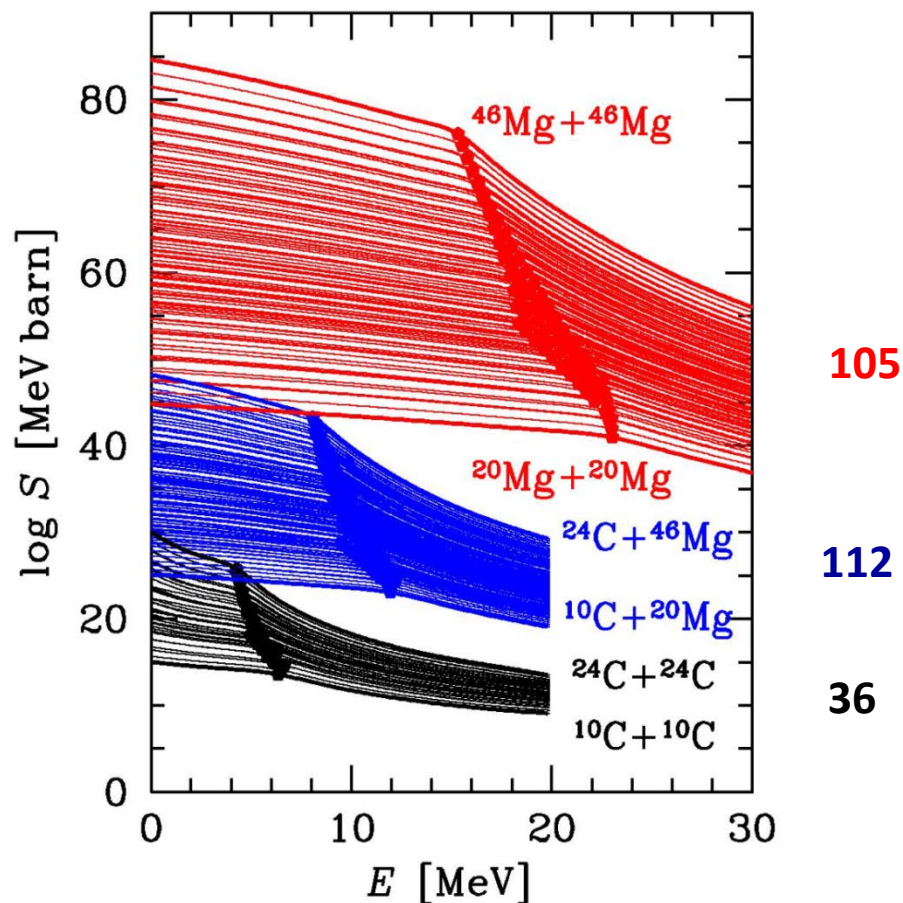
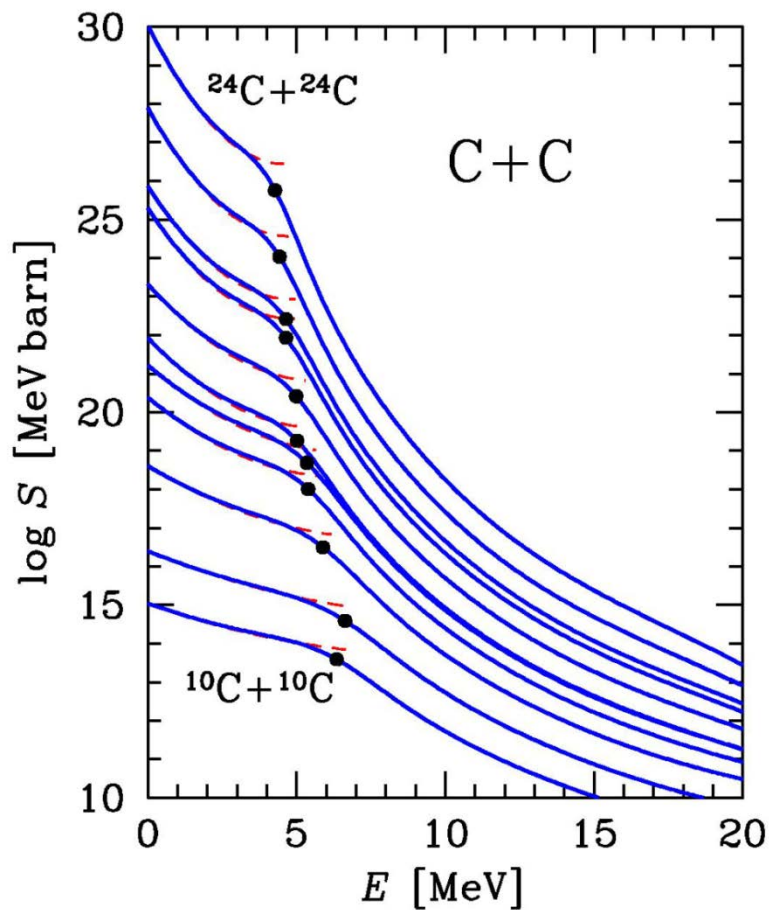
Астрофизические факторы: модель проникновения под барьер



(рисунок из статьи Yakovlev et al., PRC **74** (2006), 035803)

Хорошее согласие с существующими экспериментальными данными позволяет использовать результаты для расчета астрофизических факторов в области гамовского пика, где экспериментальные результаты недоступны, а также для реакций экзотических (нестабильных) атомных ядер

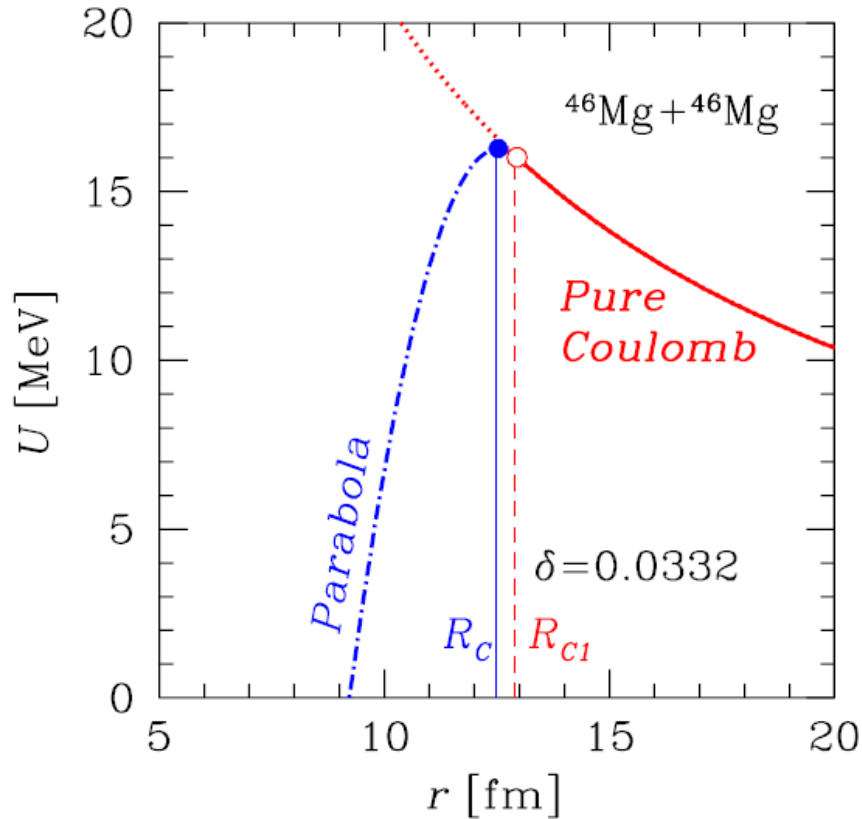
Астрофизические факторы: модель проникновения под барьер



- Функции $S(E)$ для разных реакций похожи
- $S(E)$ заметно меняется с энергией
- Четко выражены две области энергий – выше и ниже порога E_c
- $S(E)$ сильно меняется от одной реакции к другой

Аналитическая модель для астрофизических факторов

Идея: аппроксимация эффективного потенциала модели проникновения под барьер так, чтобы можно было рассчитать астрофизический фактор аналитически



$$U(r) = \frac{\alpha}{r} \quad \text{at } r \geq R_{C1}$$

$$U(r) = E_C \left[1 - \beta \frac{(r - R_C)^2}{R_C^2} \right] \quad \text{at } r < R_{C1}.$$

$U(r)$ описывается двумя параметрами:

$$E_C = U(R_C)$$

$$\delta = (R_{C1} - R_C) / R_C$$

$$R_C = \frac{\alpha(2 + 3\delta)}{2E_C(1 + \delta)^2}, \quad \beta = \frac{1}{\delta(2 + 3\delta)},$$

$$\alpha = Z_1 Z_2 e^2$$

$$R_{C1} = R_C (1 + \delta), \quad E_{C1} = U(R_{C1}) = E_C \frac{2 + 2\delta}{2 + 3\delta}.$$

$$E_R = \alpha^2 \mu / (2\hbar^2)$$

Аналитическая модель для астрофизических факторов. Вклад $l=0$

При $E < E_c$ получается полностью аналитический модельный S-фактор, зависящий от трех параметров:

$$S_0, E_c, \delta$$

Разложение в ряд Тэйлора при $E < E_c$:

$$S(E) = S_0 \exp(g_1 + g_2 E + g_3 E^2)$$

g_1 и g_2 берем из аналитической модели

g_3 выберем, чтобы квазиклассический коэффициент прохождения сквозь барьер при $E = E_c$ равнялся 1

Далее g_1 и g_2 берем в пределе

$$\delta \ll 1$$

$$g_0 = \sqrt{\frac{E_R}{E_C}} (8 - \pi \sqrt{2\delta} - 2\delta), \quad g_1 = -\sqrt{\frac{E_R}{E_C^3}} \left(\frac{4}{3} - \pi \sqrt{2\delta} - \delta \right).$$

$$g_2 = (2\pi\eta_C - g_0 - g_1 E_C) / E_C^2.$$

Аналитическая модель для астрофизических факторов. Вклад $l=0$

При $E < E_C$ получается полностью аналитический модельный S-фактор, зависящий от трех параметров:

$$S_0, E_c, \delta$$

Разложение в ряд Тэйлора при $E < E_C$:

$$S(E) = S_0 \exp(g_0 + g_1 E + g_2 E^2)$$

$$g_0 = \sqrt{\frac{E_R}{E_C}} (8 - \pi \sqrt{2\delta} - 2\delta), \quad g_1 = -\sqrt{\frac{E_R}{E_C^3}} \left(\frac{4}{3} - \pi \sqrt{2\delta} - \delta \right).$$

$$g_2 = (2\pi\eta_C - g_0 - g_1 E_C) / E_C^2.$$

Простейшая модель:
$$U_{\text{eff}} = \begin{cases} \frac{Z_1 Z_2 e^2}{r} = E_C \frac{R}{r}, & r > R_0 \\ -U_0, & r < R_0 \end{cases}$$

$$S \approx \frac{\pi \hbar^2}{2\mu} \exp \left(8 \sqrt{\frac{E_R}{E_C}} - \frac{4}{3} \sqrt{\frac{E_R}{E_C^3}} \right) \quad E_R = \alpha^2 \mu / (2\hbar^2)$$

Астрофизические факторы: аналитическая модель. Вклад $l > 0$

$$S(E) = S^{(0)}(E) J(E), \quad J(E) = 1 + \sum_{\ell=1}^{\infty} (2\ell + 1) \frac{T_{\ell}(E)}{T_0(E)}$$

$S^{(0)}(E)$ = вклад s-волны

$J(E)$ = вклад волн с $l > 1$, $J(E) = J_0$

Соотношение подобия при $E < E_C$: $J_0 = 1 + j_0 \sqrt{E_C / E_0}$.

$$E_0 = \hbar^2 / (2\mu R_C^2)$$

Окончательно при $E < E_C$:

$$S(E) = S_{0s} J_0 \exp(g_0 + g_1 E + g_2 E^2)$$

4 параметра: S_{0s}, E_C, δ, j_0

Аналитическая модель для астрофизических факторов. $E > E_C$

При $E = E_C$: становится классически разрешенным s-канал

Далее с ростом E открываются новые каналы $l=1,2,\dots$

$$\sigma(E) = \frac{\pi}{k^2} \sum_{\ell=0}^{\infty} (2\ell + 1) T_{\ell}(E)$$

Простейшая модель при $E > E_C$:

$$\begin{cases} T_{\ell}(E) = 1 \\ T_{\ell}(E) = 0 \end{cases}$$

$$\sigma(E) = \frac{\pi}{k^2} (\ell_0(E) + 1)^2.$$

Для нашего модельного потенциала при $l_0(E) \gg 1$:

$$y(E) \equiv (\ell_0 + 1)\ell_0 = \frac{E - E_C}{E_0} \left(1 - \frac{E - E_C}{\beta E_C} \right)$$

При $E = E_C$ классически разрешен s-канал:

$$\sigma_0(E_C) = \pi/k_C^2$$

$$\Rightarrow S_{0s} = \frac{\pi \hbar^2}{2\mu} = 0.6566 \frac{A_1 + A_2}{A_1 A_2} \text{ MeV barn}$$



Три параметра

Аналитическая модель для астрофизических факторов. $E > E_C$

$$S(E) = S_{0s} \exp(2\pi\eta) \sqrt{y^2(E) + J_0^2}$$

- Применимость: $E \sim$ неск. E_C
- Достоинство: из «первых принципов», исключая узкую область энергий
- 3 независимых параметра для одной реакции:

$$E_C, \delta, j_0$$
$$E_C = \frac{Z_1 Z_2 e^2}{R_{12}}$$

$$R_{12} = R + \Delta R_1 |A_1 - 2Z_1| + \Delta R_2 |A_2 - 2Z_2|$$

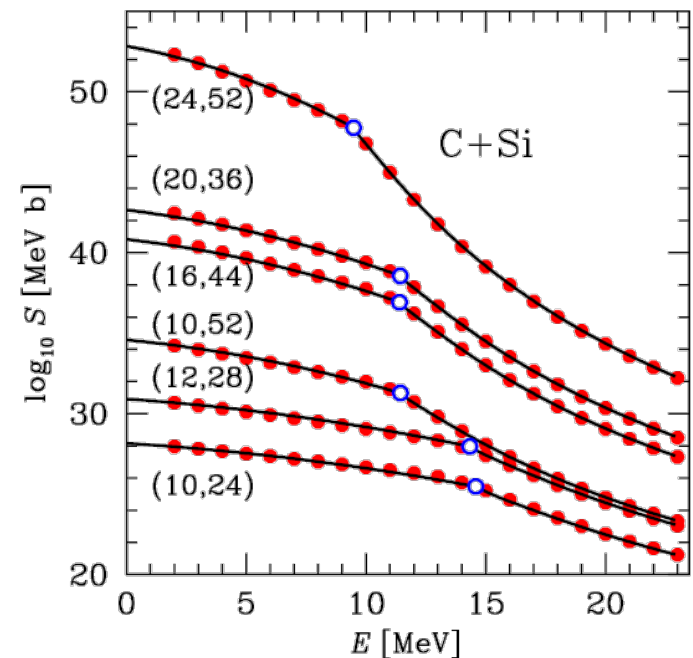
Аналитическая модель для астрофизических факторов

Reaction	R	ΔR_{1a}	ΔR_{2a}	ΔR_{1b}	ΔR_{2b}	δ	j_0	η_{rms}	η_{max}	$\tilde{\eta}_{max}$
type	fm	fm	fm	fm	fm					
Be+Be	7.5010	0.2480	0.2480	0.1557	0.1557	0.0330	0.7453	0.08	0.37	0.59
Be+B	7.5065	0.2547	0.2223	-1.7469	0.0635	0.0370	0.7814	0.08	0.40	0.54
Be+C	7.6982	0.2543	0.1877	2.0844	-0.0012	0.0441	0.7349	0.09	0.47	0.67
Be+N	7.9324	0.2523	0.1546	7.7591	-0.0233	0.0484	0.7446	0.10	0.41	0.70
Be+O	8.0708	0.2507	0.1346	-0.0738	-0.0271	0.0509	0.7699	0.11	0.44	0.80
Be+F	8.1585	0.2510	0.1201	-0.6214	-0.0272	0.0509	0.8117	0.12	0.48	0.82
Be+Ne	8.1485	0.2510	0.1270	-1.5671	0.0007	0.0513	0.8697	0.13	0.59	1.26
Be+Na	8.2139	0.2494	0.1161	-1.3477	-0.0059	0.0505	0.9065	0.13	0.52	1.10
Be+Mg	8.2734	0.2481	0.1067	-0.5794	-0.0128	0.0499	0.9528	0.14	0.57	1.30
Be+Si	8.3390	0.2462	0.0937	1.8651	-0.0126	0.0481	1.0538	0.16	0.62	1.26
B+B	7.6600	0.2175	0.2175	0.0511	0.0511	0.0459	0.7772	0.07	0.51	0.51
B+C	7.8155	0.2155	0.1839	0.0414	-0.0148	0.0511	0.7919	0.07	0.40	0.43
B+N	8.0004	0.2132	0.1522	0.0334	-0.0359	0.0523	0.8523	0.07	0.37	0.37
B+O	8.1037	0.2117	0.1331	0.0338	-0.0378	0.0520	0.9001	0.08	0.47	0.47
B+F	8.1700	0.2114	0.1188	0.0349	-0.0379	0.0502	0.9575	0.09	0.48	0.51
B+Ne	8.1755	0.2088	0.1244	0.0113	-0.0098	0.0501	1.0353	0.12	0.57	1.08
B+Na	8.2418	0.2075	0.1137	0.0082	-0.0160	0.0492	1.0885	0.11	0.56	0.85
B+Mg	8.3033	0.2064	0.1047	0.0061	-0.0211	0.0485	1.1431	0.12	0.58	1.03
B+Si	8.3977	0.2048	0.0921	0.0035	-0.0201	0.0472	1.2073	0.14	0.59	1.05
C+C	7.8843	0.1836	0.1836	-0.0107	-0.0107	0.0524	0.8476	0.08	0.49	0.49
C+N	8.0464	0.1816	0.1516	-0.0181	-0.0375	0.0515	0.9341	0.08	0.45	0.45
C+O	8.1523	0.1806	0.1324	-0.0173	-0.0393	0.0507	0.9647	0.10	0.51	0.59
C+F	8.2103	0.1804	0.1184	-0.0164	-0.0383	0.0487	1.0425	0.10	0.53	0.58
C+Ne	8.2146	0.1790	0.1239	-0.0293	-0.0089	0.0487	1.1230	0.15	0.64	1.34
C+Na	8.2839	0.1780	0.1132	-0.0306	-0.0165	0.0479	1.1797	0.14	0.63	1.01
C+Mg	8.3785	0.1772	0.1043	-0.0305	-0.0214	0.0477	1.1405	0.16	0.61	1.24
C+Si	8.4392	0.1763	0.0916	-0.0320	-0.0205	0.0461	1.3190	0.16	0.66	1.28

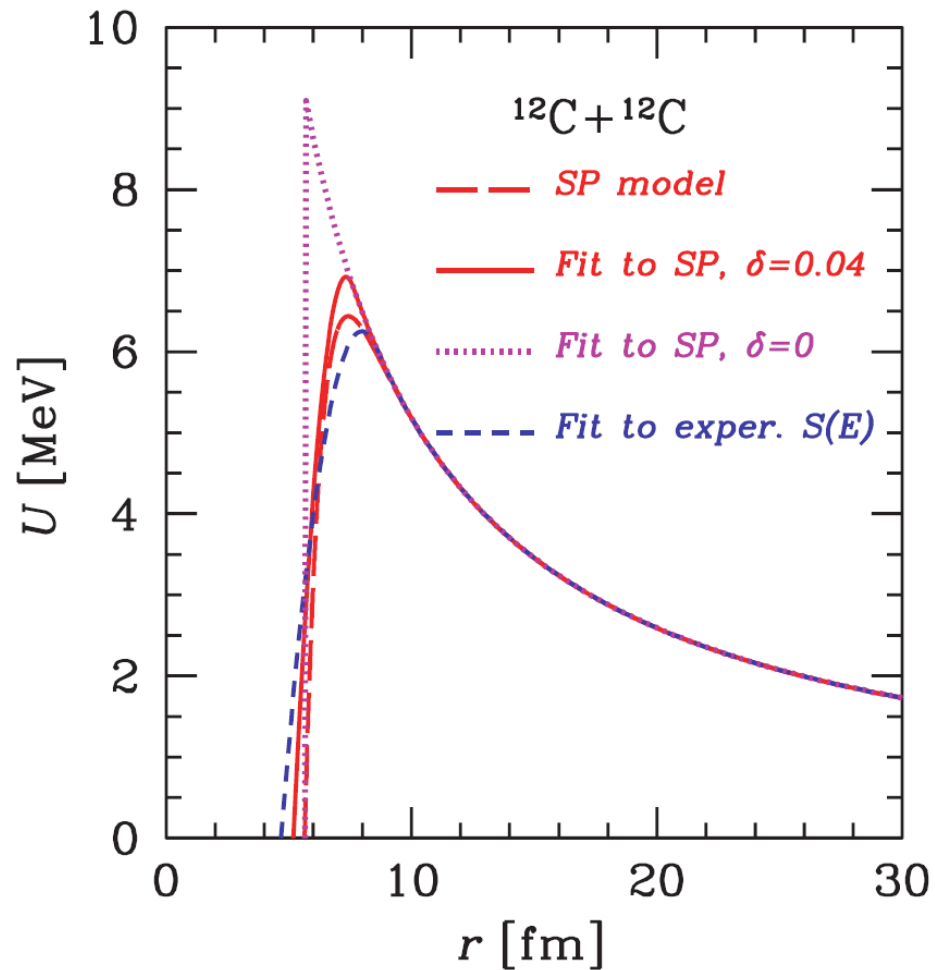
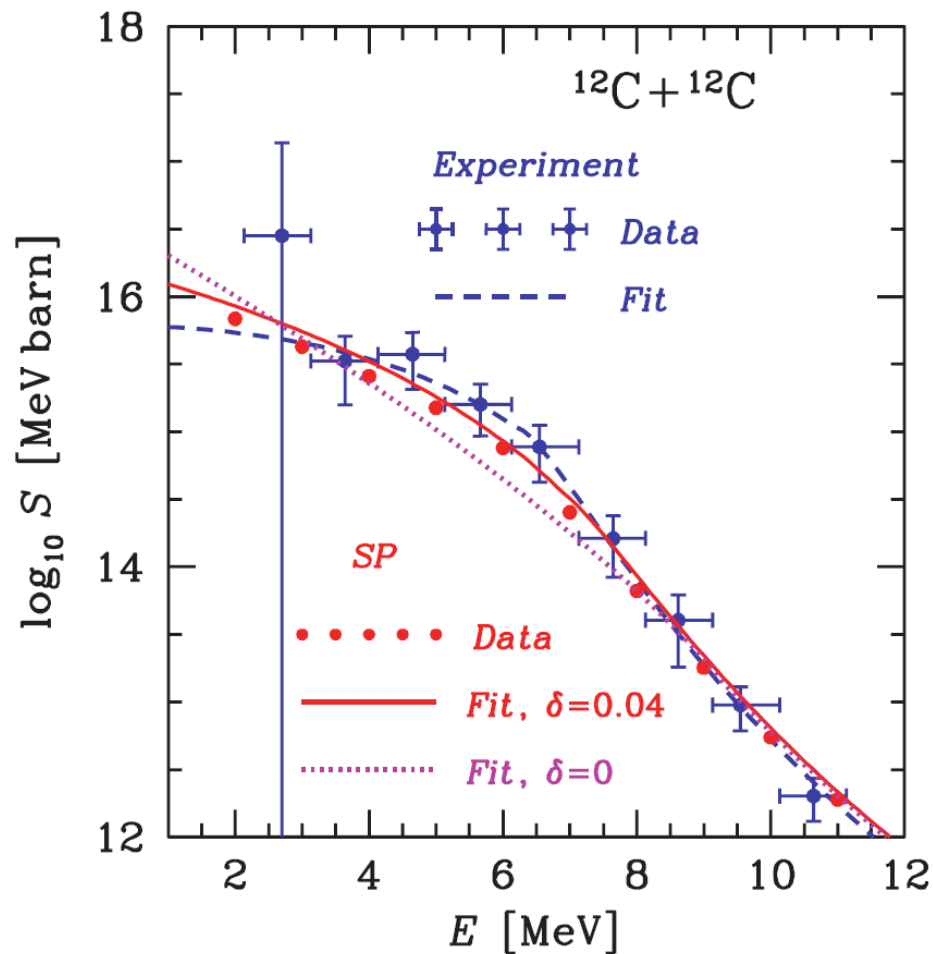
Результаты:

- Компактная, однородная база данных
- Точность подгонки – не хуже точности расчета

Подгоночные параметры – одного порядка

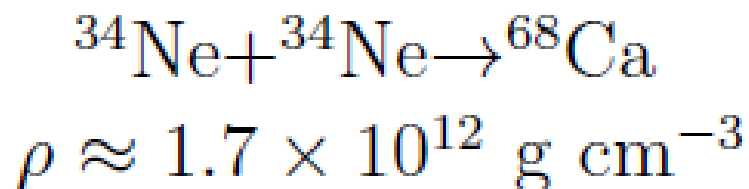


Аналитическая модель для астрофизических факторов. Восстановление эффективного потенциала

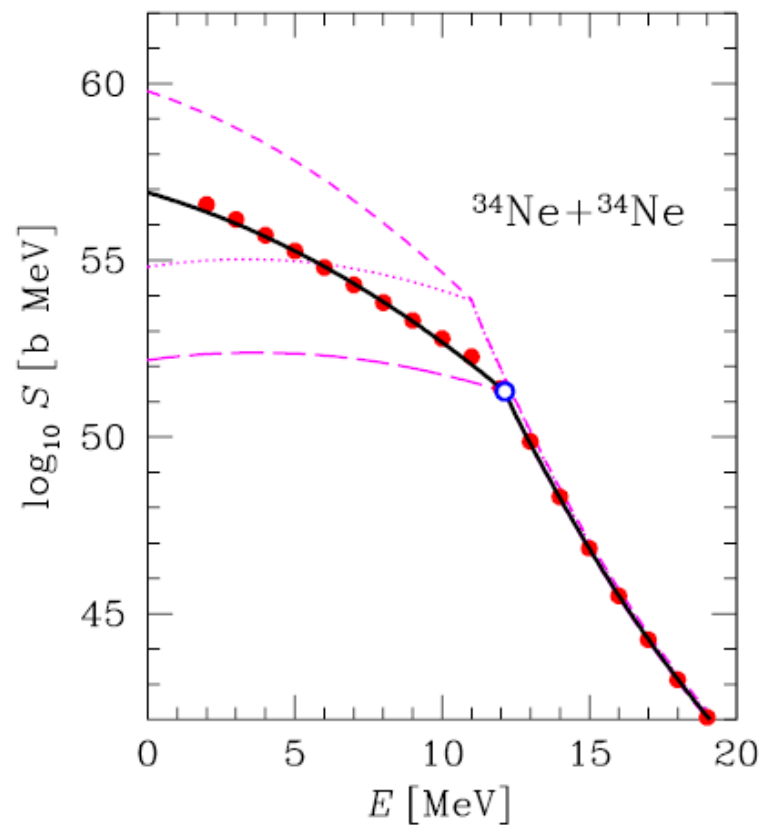
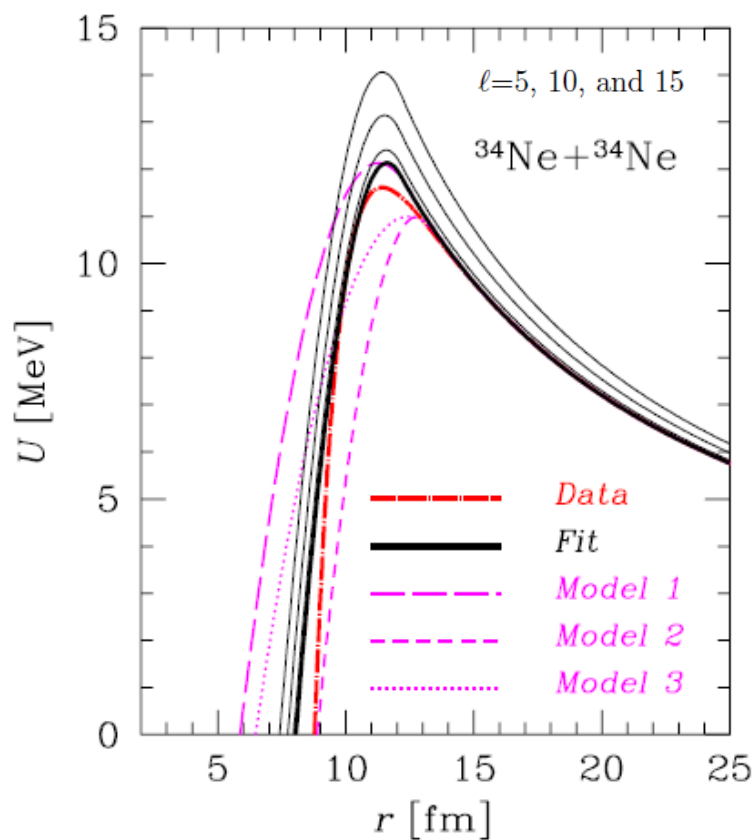


Аналитическая модель для астрофизических факторов: анализ неопределенности в эффективном потенциале

Пример (Haensel and Zdunik 1990):



	E_C , MeV	δ
Fit	12.137	0.0441
Model 1	12.137	0.1
Model 2	11	0.0441
Model 3	11	0.1



Лекция 1 . Термоядерные реакции в звёздной плазме

- Основной вклад в термоядерное горение вносят надтепловые частицы (гамовский пик)
- Резонансы способны существенно усиливать скорость реакции
- Скорость реакции быстро растёт с ростом температуры
- Экспериментальные данные о сечениях ядерных реакций в области гамовского пика доступны лишь для лёгких ядер
- Теоретический расчет сечений (астрофизических факторов) удобно проводить в модели проникновения под барьер.
- Эффективный потенциал отличается от кулоновского лишь для расстояний порядка радиуса ядра

Лекция 2. Пять режимов ядерных реакций в звёздной плазме

Плазма экранирует кулоновское отталкивание реагирующих частиц, меняя эффективный потенциал на расстояниях порядка расстояния между частицами